



Paolo Giacomelli (INFN Bologna)
Giovedì, 4 Luglio, 2013



Outline

- Evoluzione futura di LHC e HL-LHC
- Programma di fisica
- Upgrades dei rivelatori CMS e ATLAS
- Misure di precisione del bosone di Higgs
- Decadimenti rari del bosone di Higgs
- Auto-accoppiamento del bosone di Higgs
- VV scattering
- Prospettive di SUSY
- Prospettive per fisica oltre il Modello Standard

Nota

Tratterò solo gli esperimenti ATLAS e CMS



LHC e HL-LHC

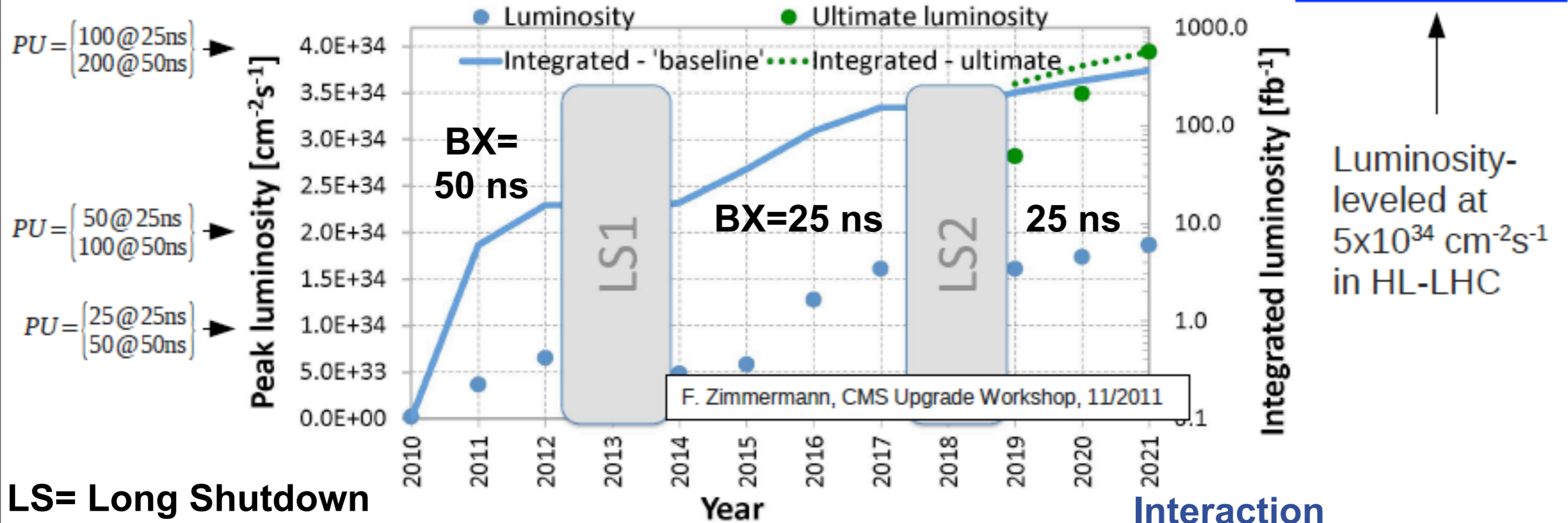


LHC

Energy increase
8 TeV to 13/14 TeV

Injection
upgrade

HL-LHC



LS= Long Shutdown

Interaction region upgrade

Listantanea
Lintegrata
Pile Up

$8 \times 10^{33} Hz/cm^2$
 $30 fb^{-1}$
PU ~40

$2 \times 10^{34} Hz/cm^2$
 $300 fb^{-1}$
PU ~50

$5 \times 10^{34} Hz/cm^2$
 $3000 fb^{-1}$
PU ~140

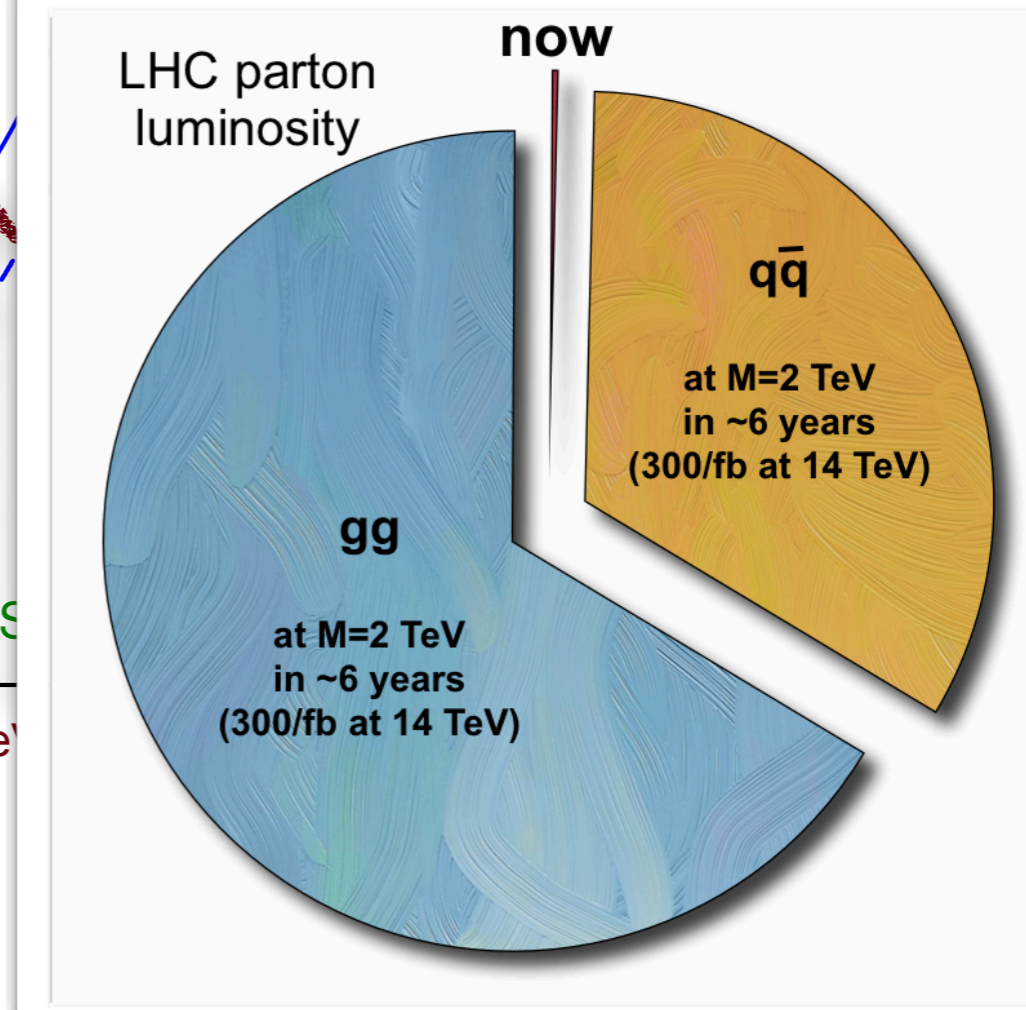
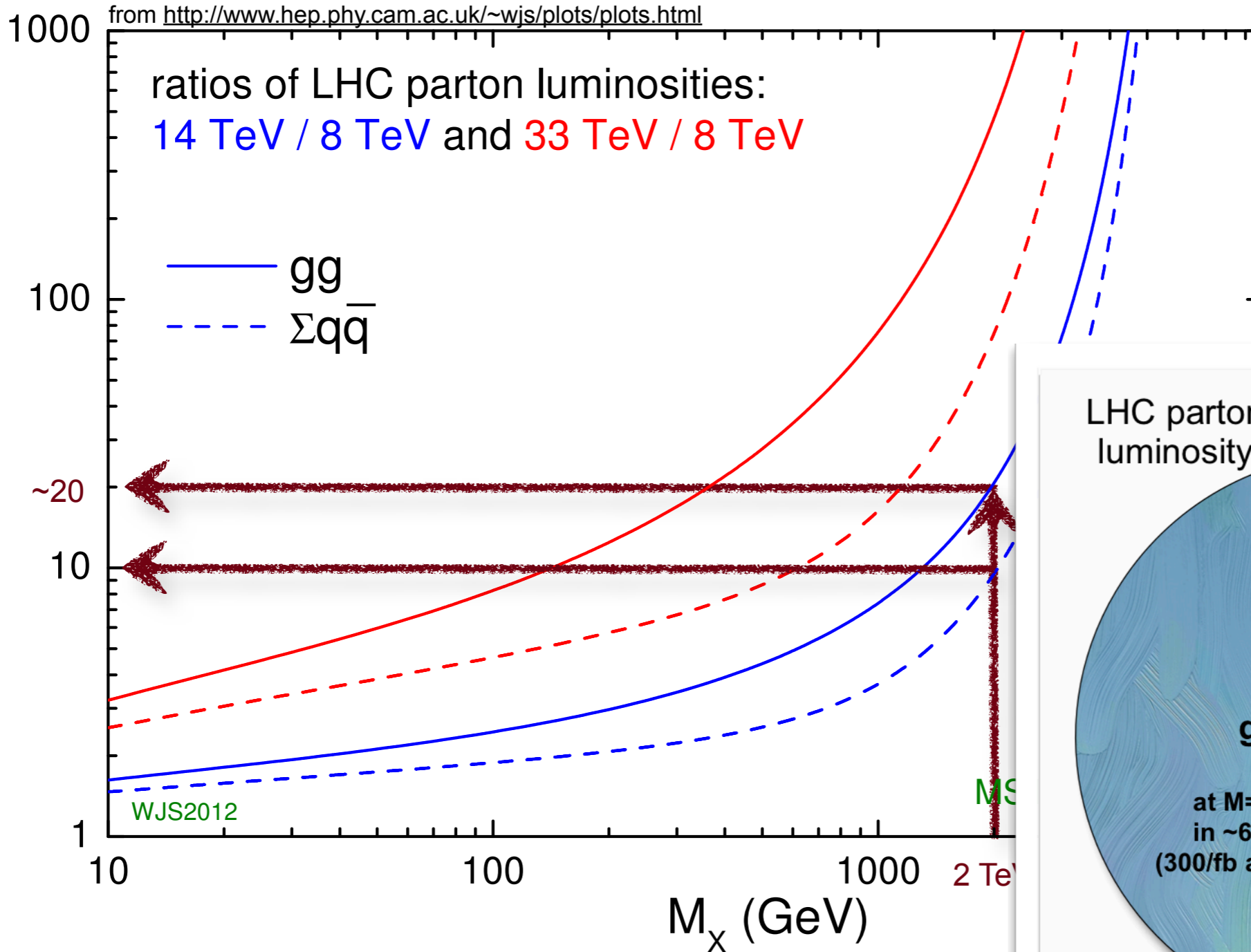
LS1

LS3

Phase 1 Upgrade

Phase 2 Upgrade

ATLAS, CMS
Upgrade plan



From G. Dissertori (ETH)

Stiamo per esplorare un territorio nuovo!!

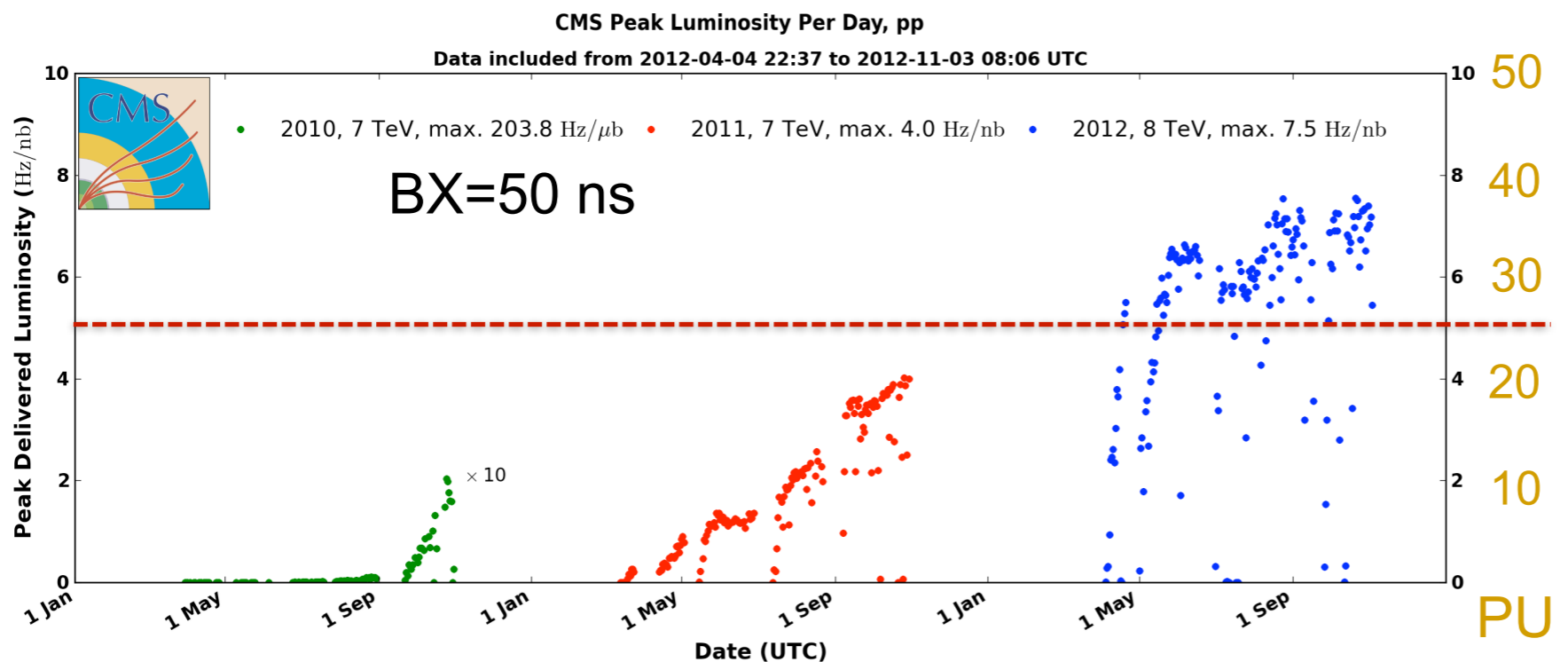


Sfide sperimentali



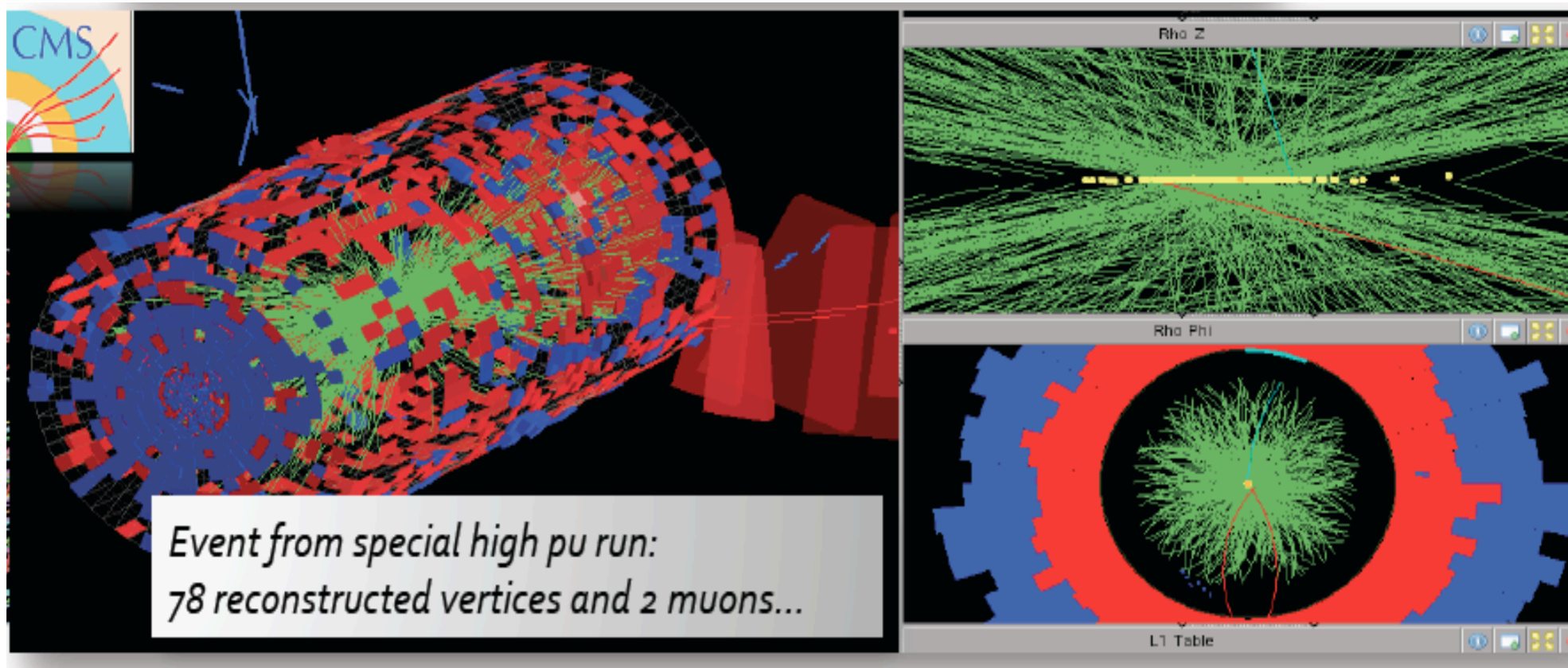
- Servono detectors e trigger ad alte prestazioni da basse fino ad alte scale di energia
 - Misure del bosone SM-like a 125 GeV
 - Ricerca di nuova fisica oltre al TeV
- **Phase 1 Upgrade:** due volte la luminosità di disegno di LHC
 - Pileup di eventi raggiunge ~50 collisioni per beam crossing (@ 25 ns)
 - Fattore 5 di aumento delle frequenze di trigger rispetto al run del 2012
- **Phase 2 Upgrade:** 5x la luminosità di disegno di LHC
 - Pileup di eventi raggiunge ~140 collisioni per beam crossing (@ 25 ns)
 - Servono soluzioni per operare con altissime frequenze (10-15 x 2012), radiazione e pileup

ATLAS e CMS sono stati progettati per $L = 1-2 \times 10^{34} \text{ cm}^{-2}\text{s}^{-1}$



Peak: 37 pileup events

Design value
25 pileup events
 ($L=10^{34}$, BX=25 ns)



In pratica le cose non saranno semplici...

Pileup at 25 ns and $L = 2 \times 10^{34} \text{ cm}^{-2} \text{ s}^{-1}$



Programma di fisica

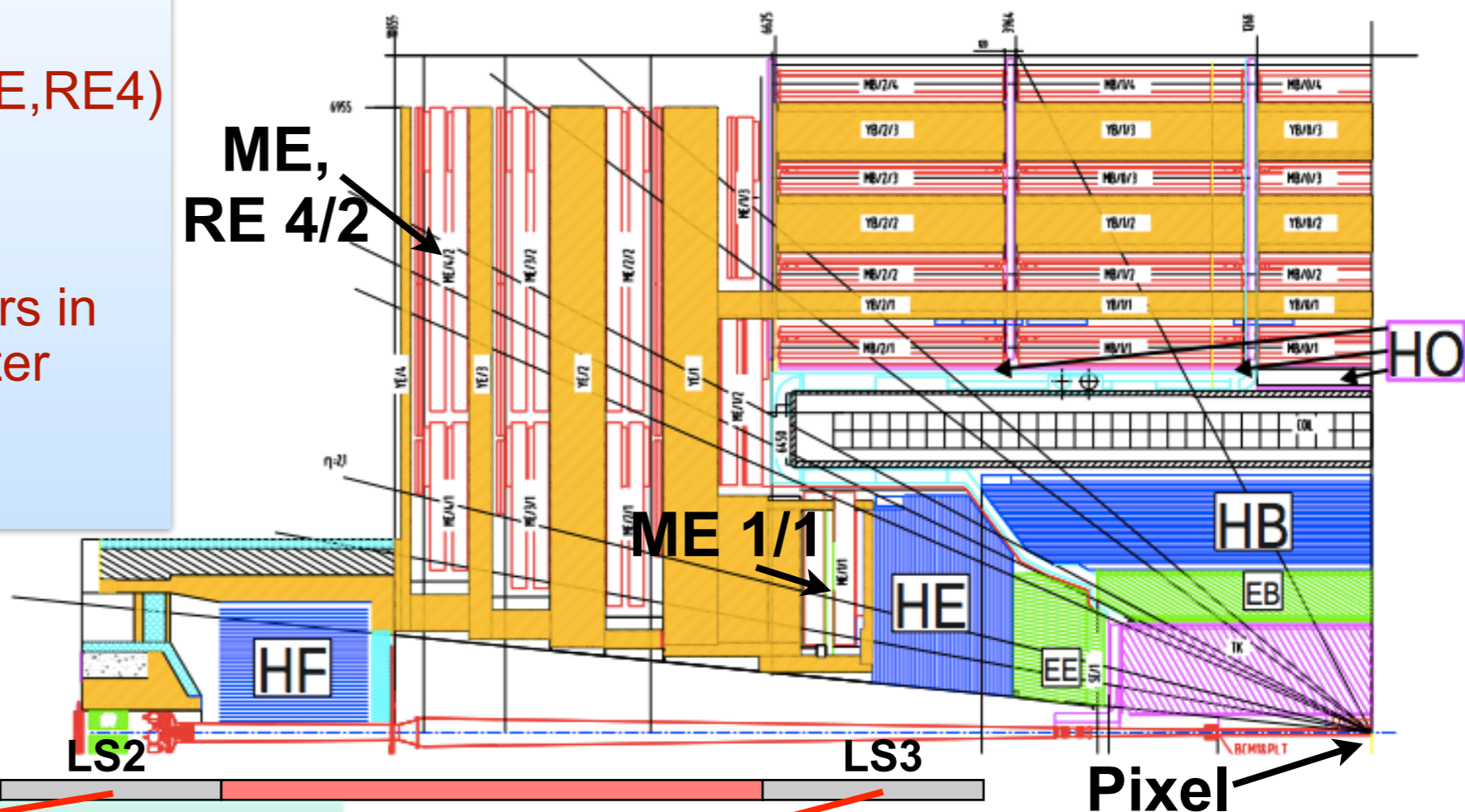
La scoperta di un bosone scalare SM-like con $m_H \sim 125$ GeV definisce le priorità di fisica

- Con i dati di **LHC 13/14 TeV** fino al ~ 2022 ($\sim 300 \text{ fb}^{-1}$)
 - Misure delle proprietà del bosone di Higgs SM-like
 - massa, J^{PC}
 - accoppiamenti individuali con una precisione del 5-15%
 - Ricerca di nuova fisica ad una nuova scala di energie
 - **SUSY**
 - **Exotica** (fisica oltre il Modello Standard)
- Con i dati di **HL-LHC** a 14 TeV fino al ~ 2032 ($\sim 3000 \text{ fb}^{-1}$)
 - Misure di alta precisione del bosone di Higgs
 - Studi dei decadimenti rari del bosone di Higgs e degli auto-accoppiamenti
 - Studi di VV scattering
 - Caratterizzare eventuale Nuova Fisica scoperta durante la Phase 1 a 14 TeV

LS1 Projects

- Complete Muon coverage (ME,RE4)
- Improve muon operation, DT electronics
- Replace HCAL photo-detectors in Forward (new PMTs) and Outer (HPD→SiPMs)
- DAQ1→DAQ2

LS1

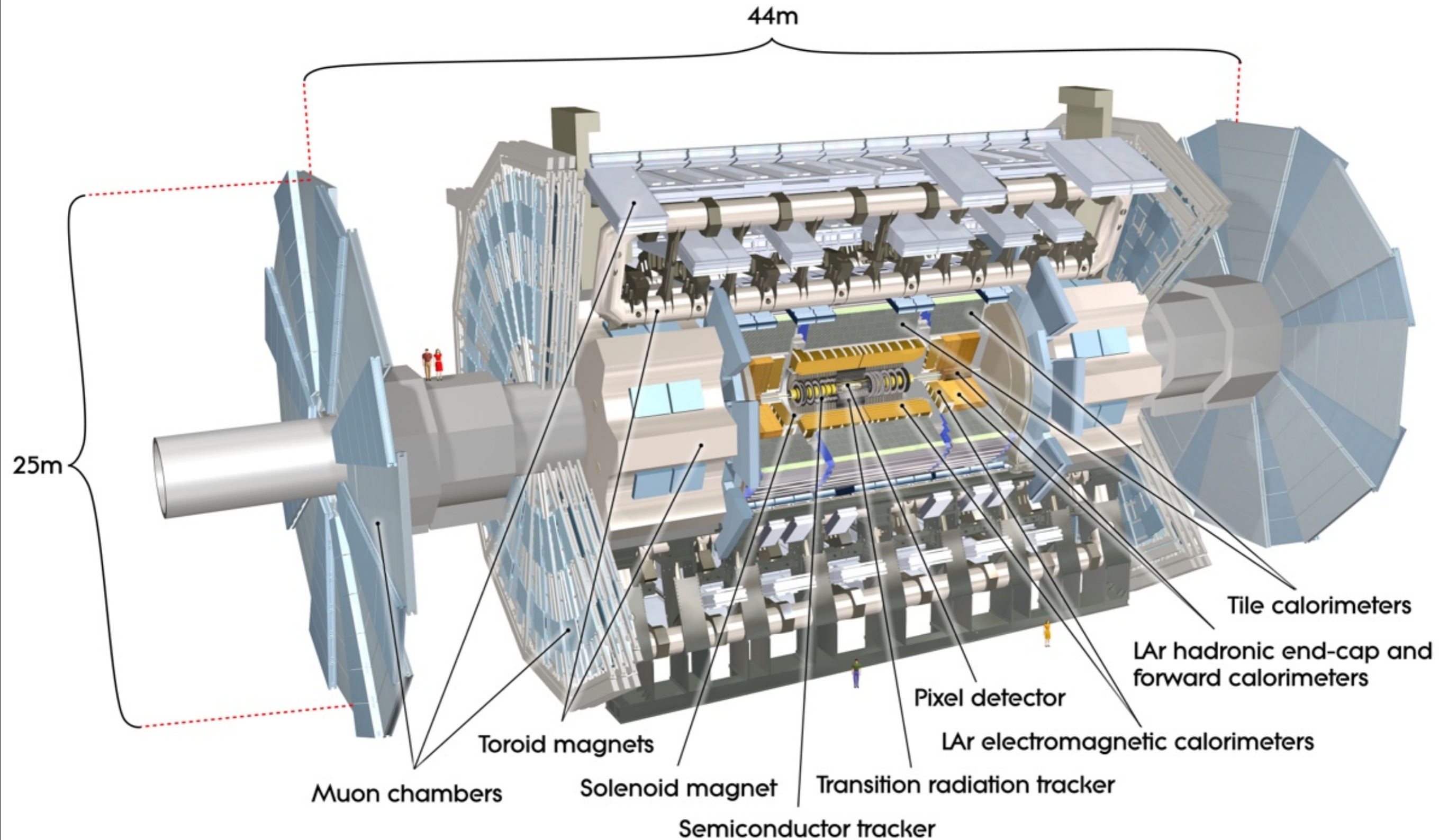


Phase 1 Upgrades

- New Pixel detector, HCAL electronics and L1-Trigger upgrade
- GEMs for forward muon det. under review
- Preparatory work during LS1
 - New beam pipe for pixel upgrade
 - Install test slices of pixel, HCAL, L1-trigger
 - Install ECAL optical splitters for L1-trigger

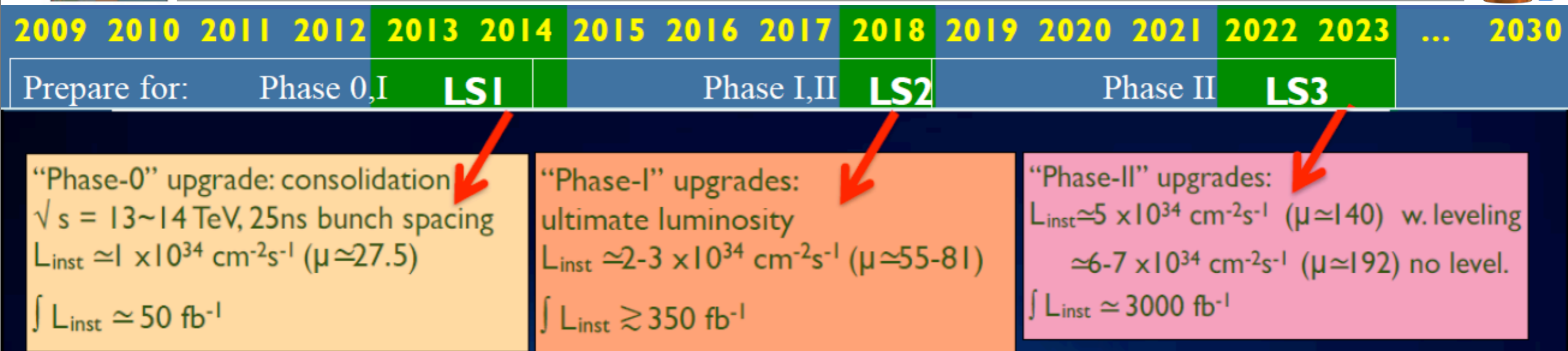
Phase 2: being defined now

- Tracker replacement, L1 Track-Trigger
- Forward: calorimetry, muons and tracking
- High precision timing for PU mitigation
- Further Trigger upgrade
- Further DAQ upgrade





ATLAS upgrade program

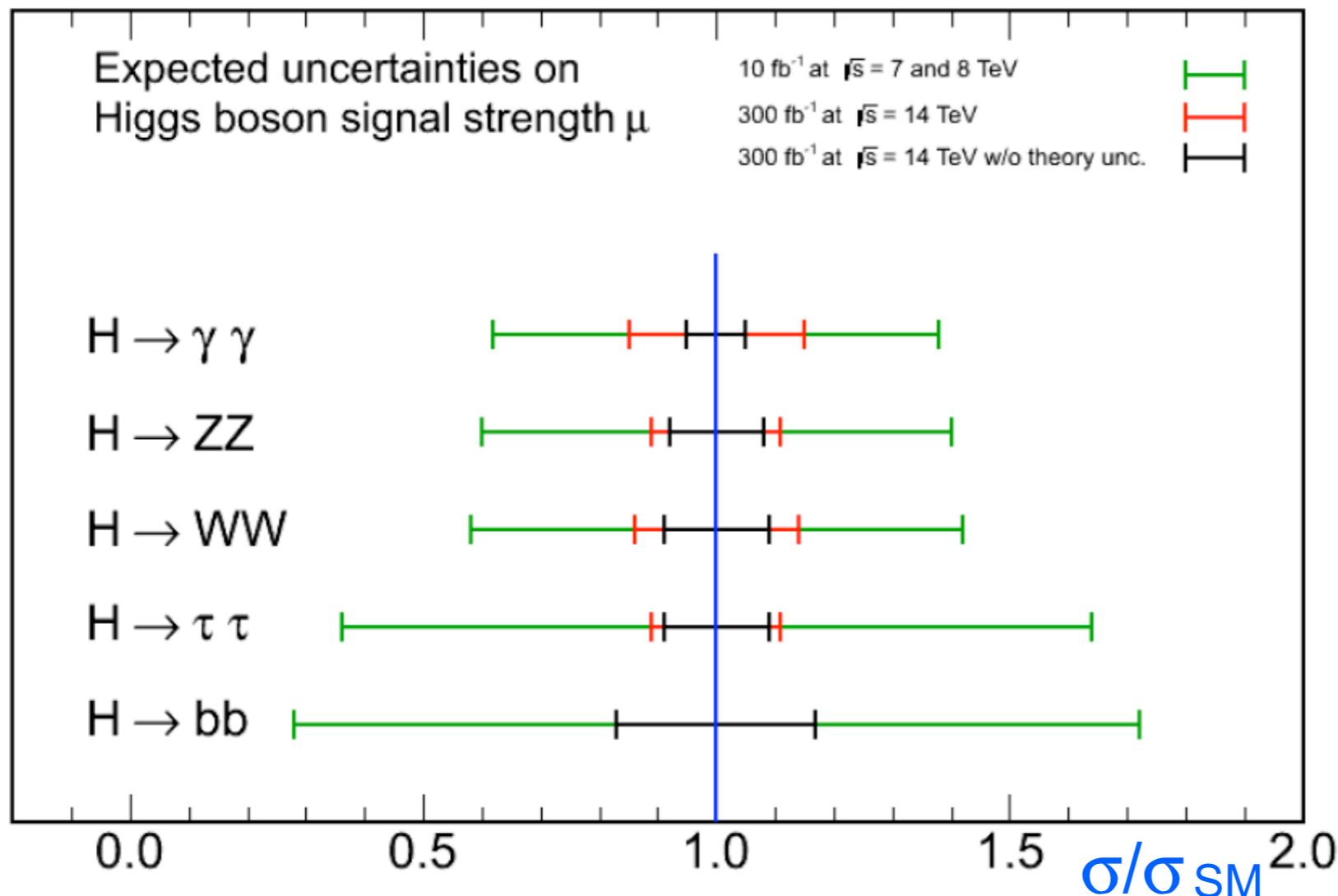


ATLAS has devised a 3 stage upgrade program

- New insertable pixel b-layer (IBL)
- New Al beam pipe
- New pixel services
- Complete installation of EE muon chambers
- New evaporative cooling plant
- Consolidation of detector services
- Specific neutron shielding
- Upgrade magnet cryogenics
- New Small Wheel (nSW) for the forward muon Spectrometer
- High Precision Calorimeter L1-Trigger
- Fast Tracking (FTK) for L2-trigger
- Topological L1-trigger processors
- New forward diffractive physics detectors (AFP)
- Completely new tracking detector
- Calorimeter electronics upgrades
- Upgrade part of the muon system
- Possible L1-trigger track trigger
- Possible changes to the forward calorimeters

- Si assume che un detector upgraded mantenga le prestazioni del 2012
- Tre scenari:
 - **Scenario 1:** stesse incertezze sistematiche del 2012
 - **Scenario 2:** incertezza teorica ridotta di un fattore 2, altre incertezze ri-normalizzate con $1/\sqrt{L}$
 - **Scenario 3:** stesse incert. exp. del 2012, nessuna incertezza teorica

CMS Projection

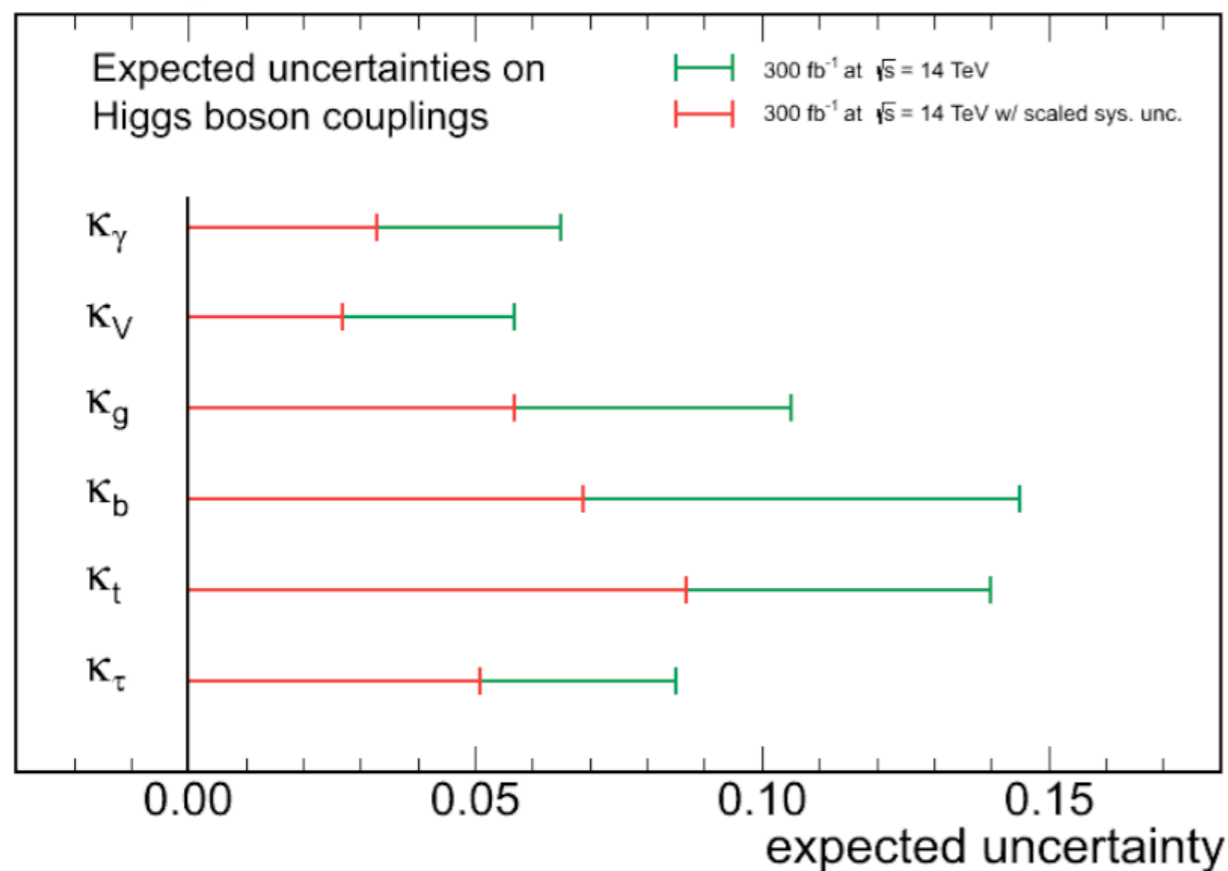


10 fb⁻¹, 7 and 8 TeV (Scenario 1)
 300 fb⁻¹, 14 TeV (Scenario 1)
 300 fb⁻¹, 14 TeV (Scenario 3)

Con 300 fb⁻¹ la precisione sulla "signal strength" (σ/σ_{SM}) sarà di **10-15%** per canale

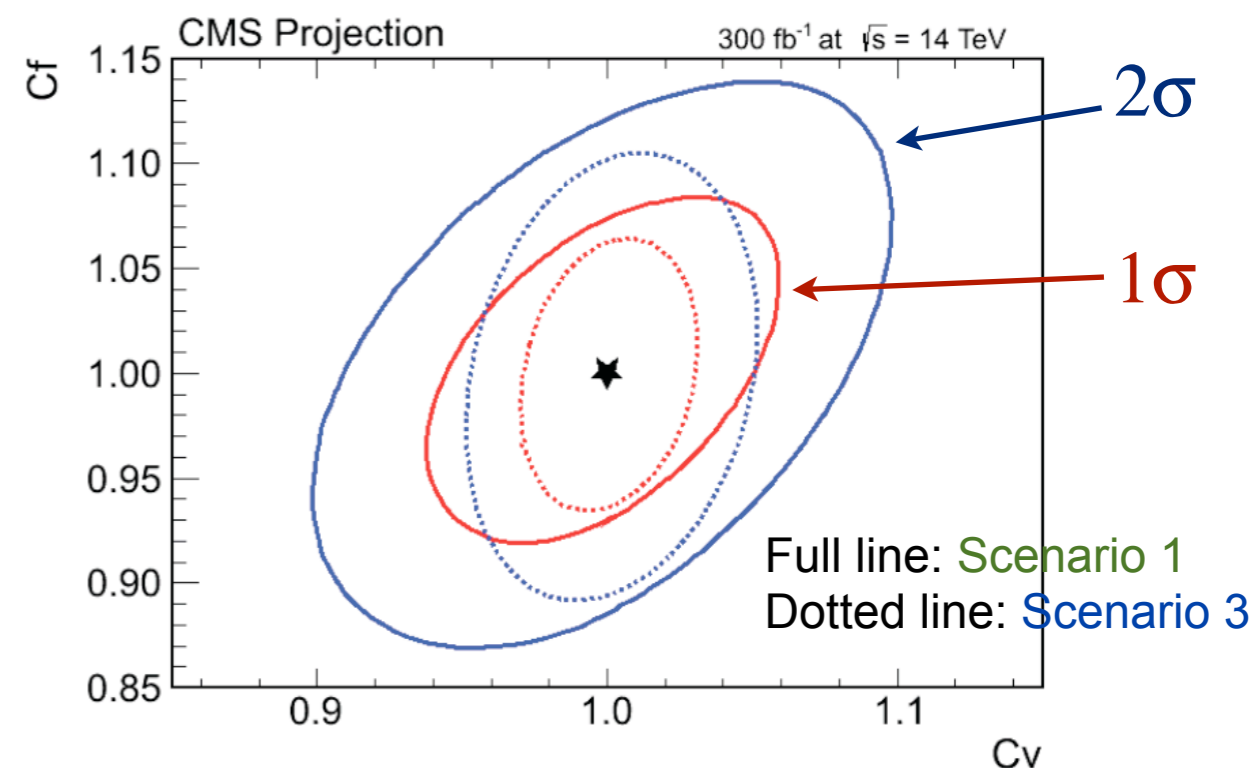
- Tre scenari:
 - **Scenario 1**: stesse incertezze sistematiche del 2012
 - **Scenario 2**: incertezza teorica ridotta di un fattore 2, altre incertezze ri-normalizzate con $1/\sqrt{L}$
 - **Scenario 3**: stesse incert. exp. del 2012, nessuna incertezza teorica

CMS Projection



300 fb⁻¹ 14 TeV, Scenario 1

300 fb⁻¹ 14 TeV, Scenario 2



Con 300 fb⁻¹ le incertezze sugli accoppiamenti dell'Higgs saranno

$$\sigma (K_V) \sim 3-6\%$$

$$\sigma (K_f) \sim 5-15\%$$



HL-LHC accoppiamenti @3000 fb⁻¹



- Estrapolazione di due ordini di grandezza a luminosità più elevate
 - e' soggetta a grandi incertezze
 - gli scenari 1 e 2 si possono considerare come limite superiore ed inferiore
- Esperienze al LEP e Tevatron mostrano che uno scaling $1/\sqrt{L}$ non e' irrealista

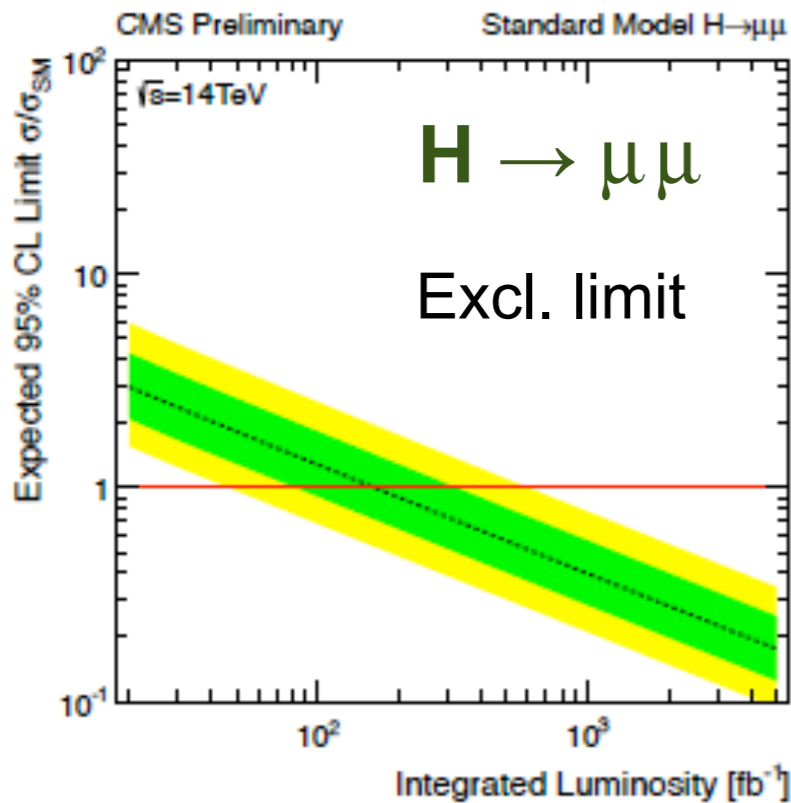
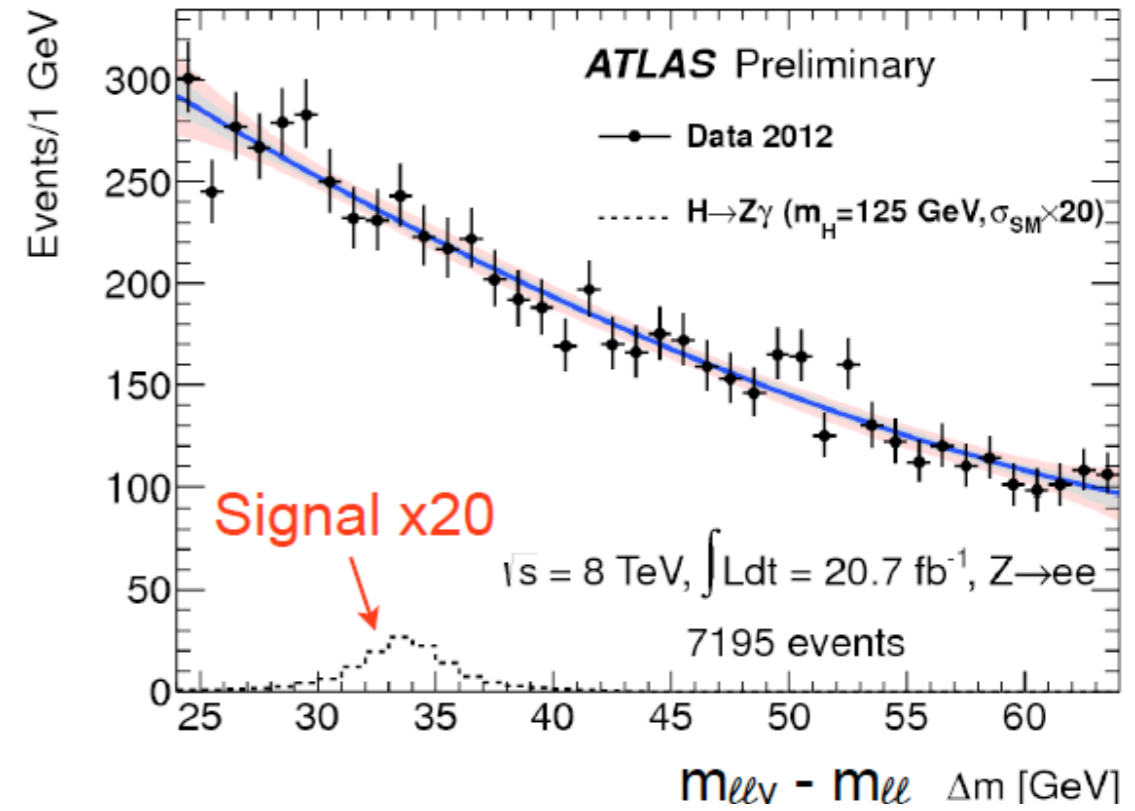
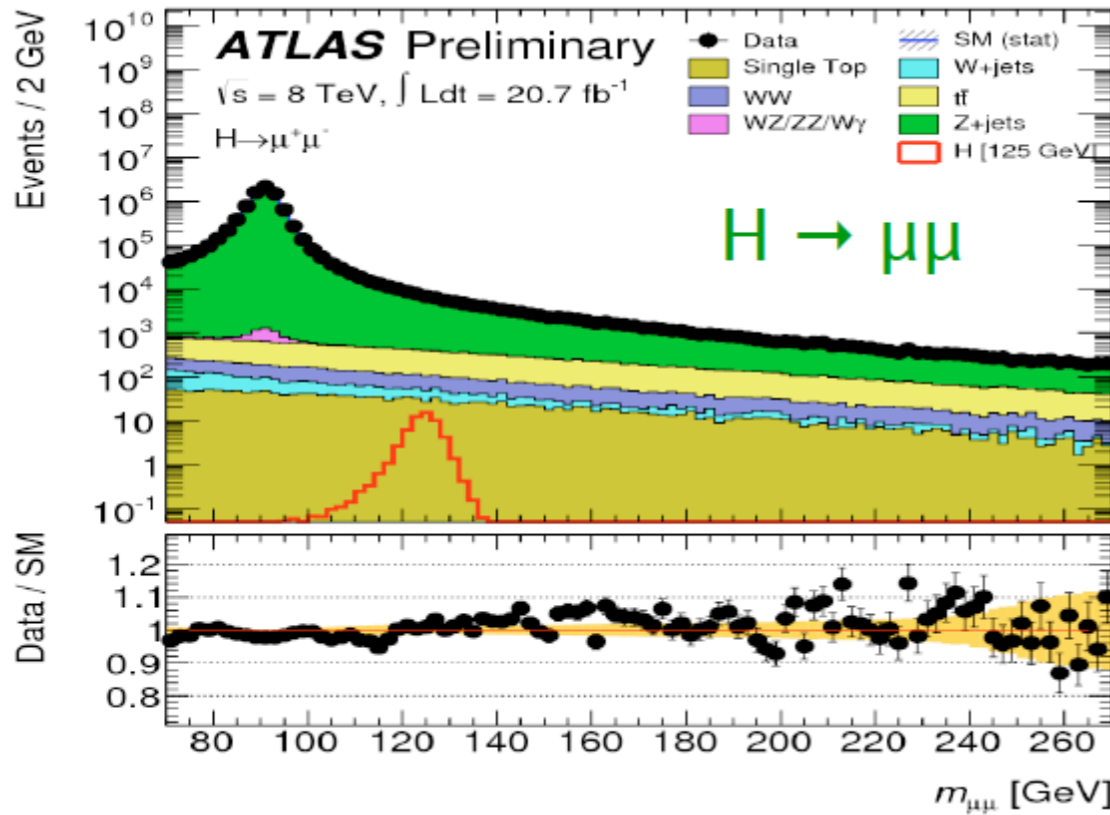
CMS Coupling	Uncertainty (%)	
	3000 fb ⁻¹	
	Scenario 1	Scenario 2
κ_γ	5.4	1.5
κ_V	4.5	1.0
κ_g	7.5	2.7
κ_b	11	2.7
κ_t	8.0	3.9
κ_τ	5.4	2.0

- Con 3000 fb⁻¹ gli accoppiamenti del bosone di Higgs possono essere determinati con alta precisione (1-4%)

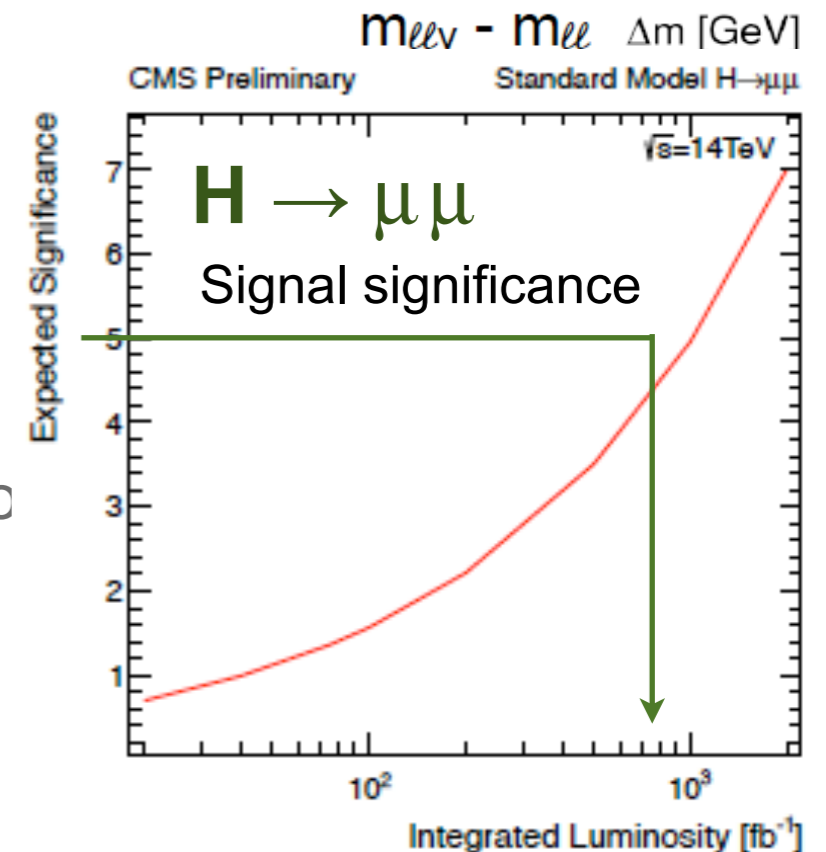
Scenario 1: systematics as in 2012

Scenario 2: theory syst. scaled by a factor 1/2, other systematics scaled by $1/\sqrt{L}$

$H \rightarrow Z(ee)\gamma$

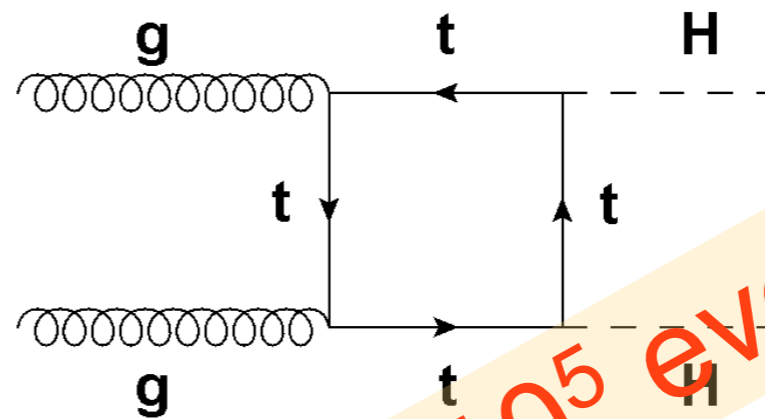
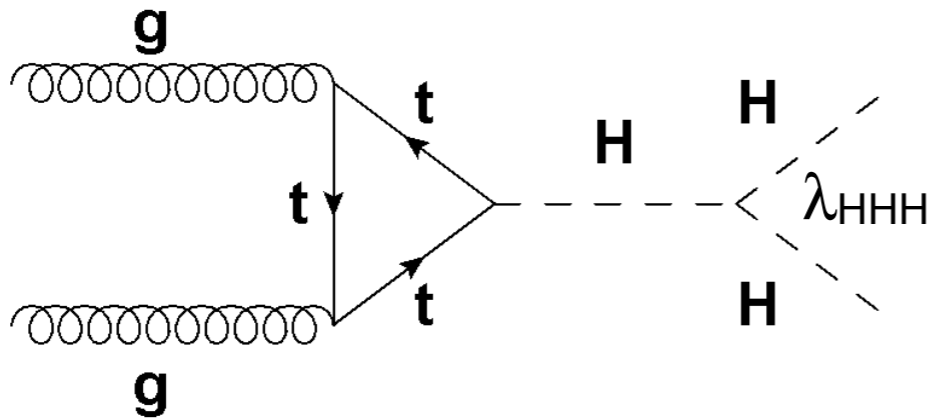


- Il decadimento $H \rightarrow \mu\mu$ può essere osservato con una significatività di 5 sigma
- misura dell'accoppiamento $H\mu\mu$ con una precisione di ~10%



Higgs boson self-coupling

Destructive interference between the two diagrams



Many channels to investigate.
Most promising ones:

$b\bar{b}W^+W^-$ (large BR but large bkg.)

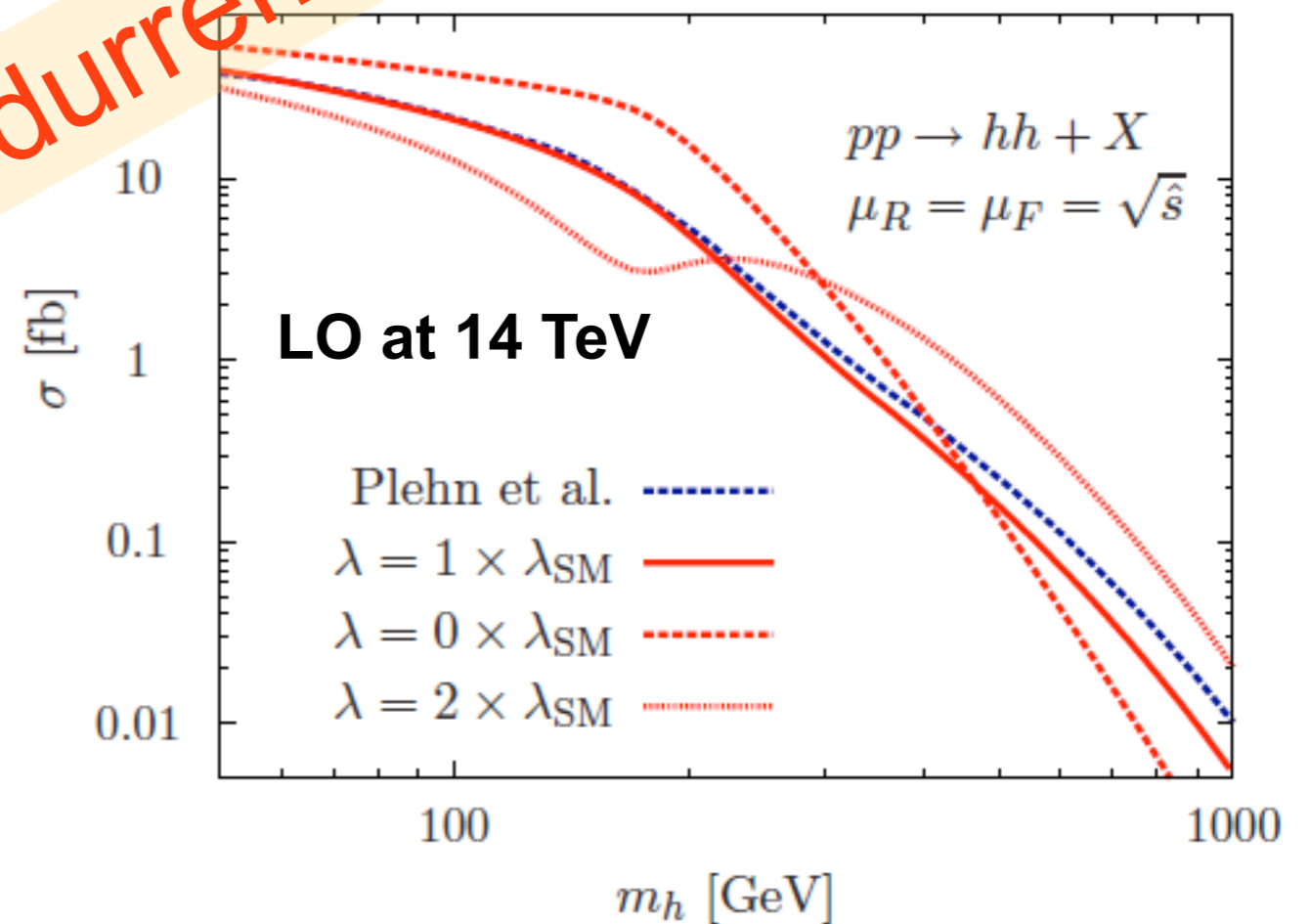
$b\bar{b}\gamma\gamma$ (clean but small BR)

$b\bar{b}\tau^+\tau^-$

$b\bar{b}\mu^+\mu^-$ also being considered

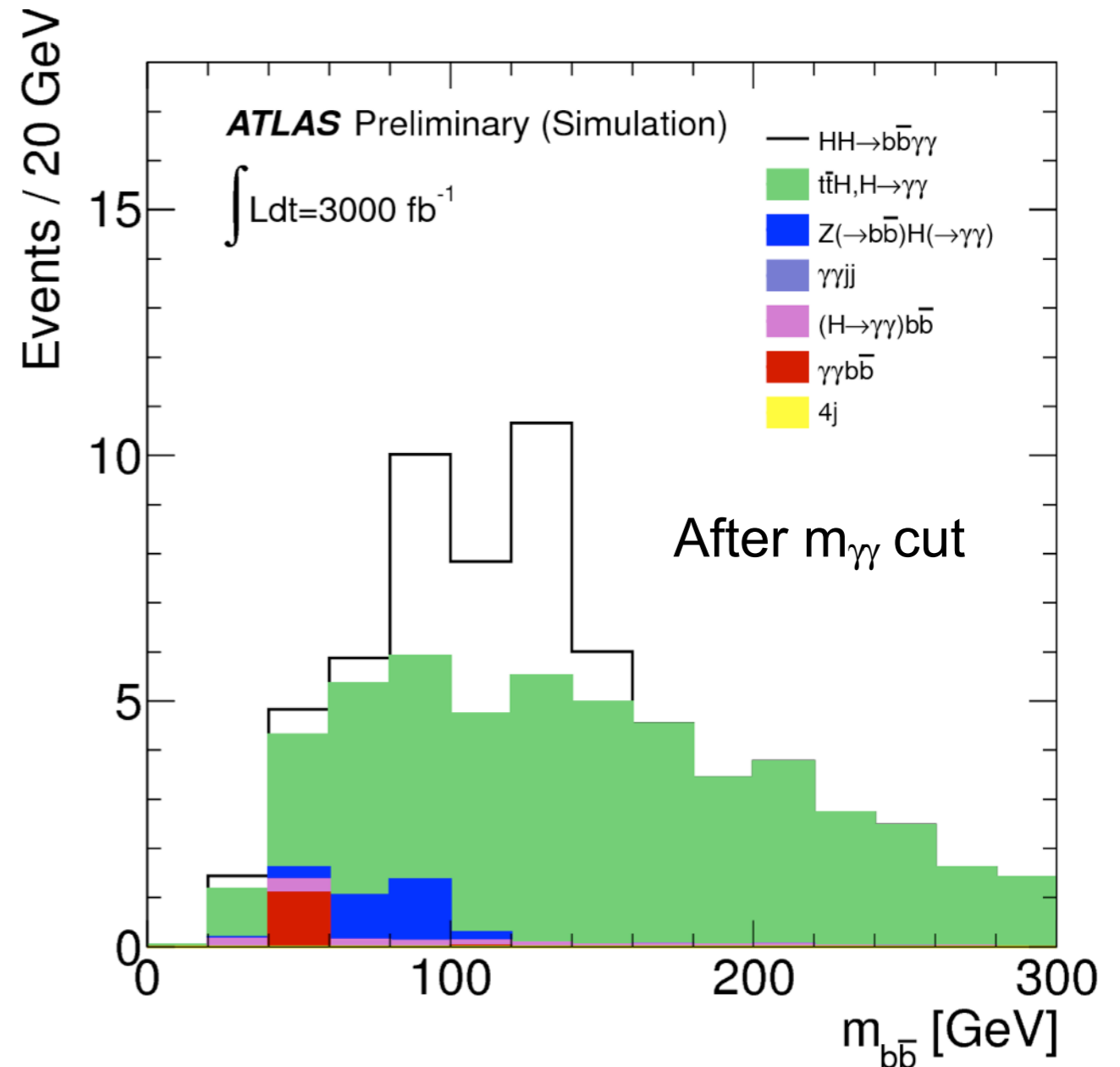
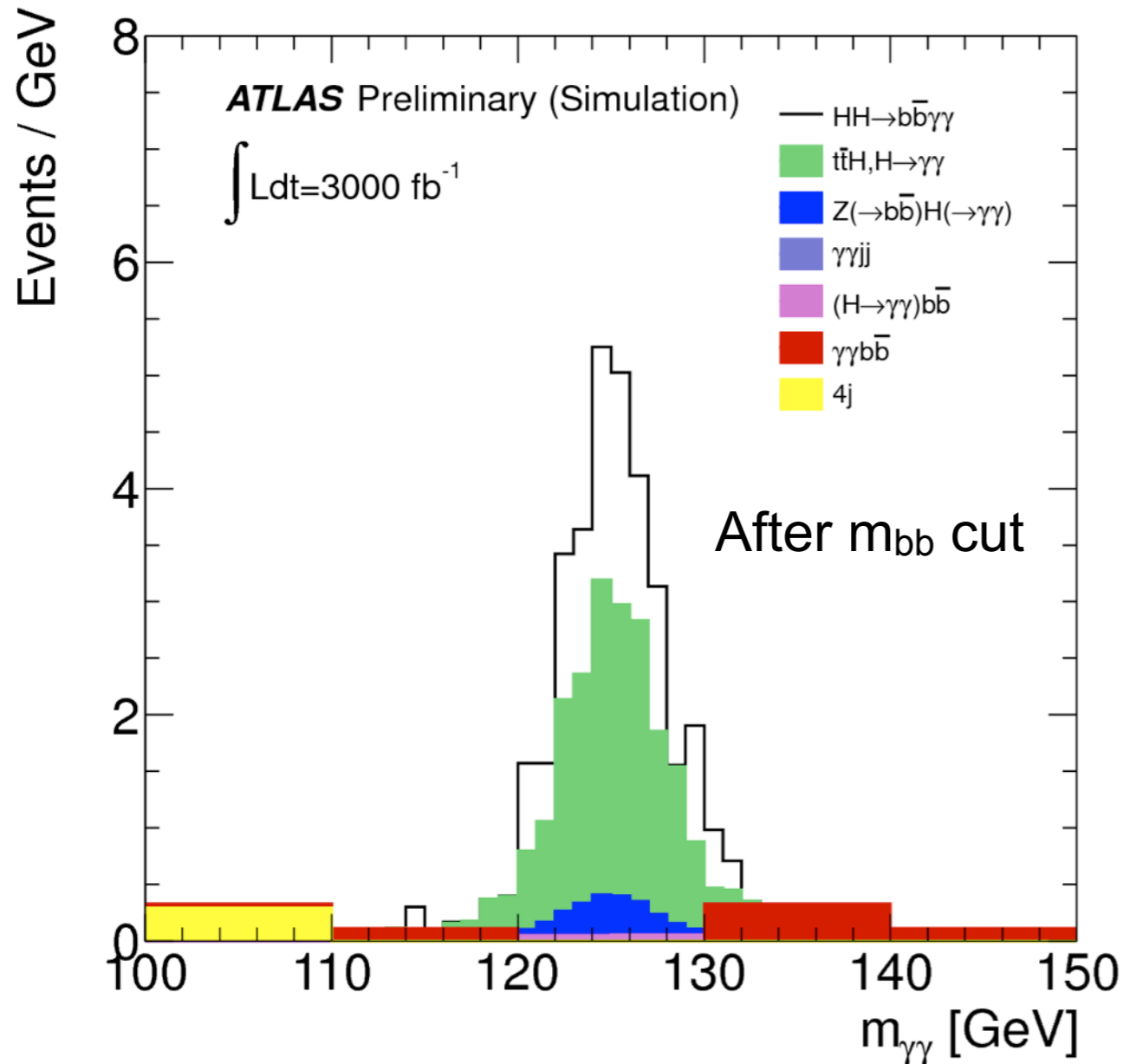
$b\bar{b}b\bar{b}$

Taken from "Higgs self-coupling measurements at the LHC" by M. J. Dolan, C. Englert and M. Spannowsky, JHEP 10 (2012) 112.



NLO cross-section at $m_H=125$ GeV:

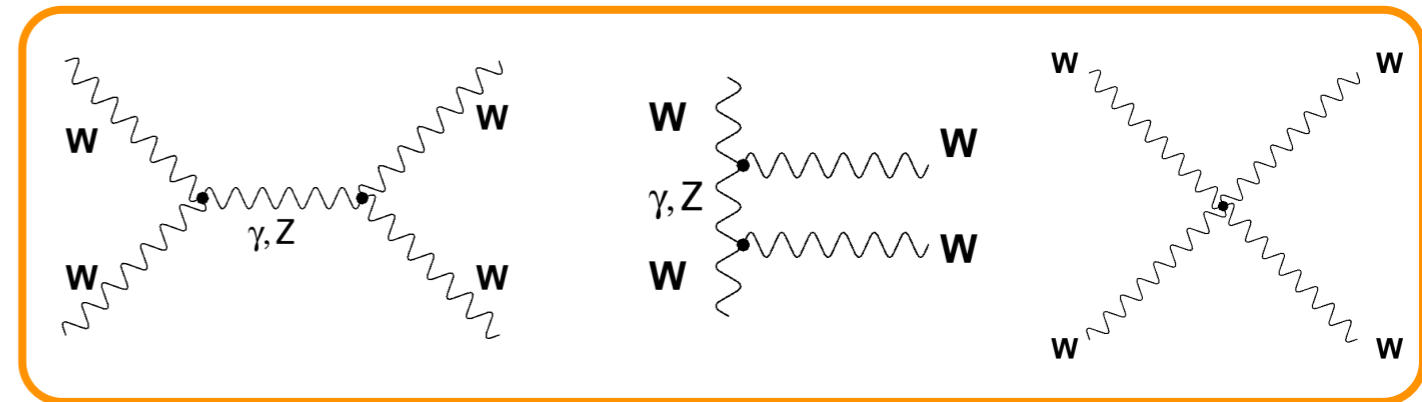
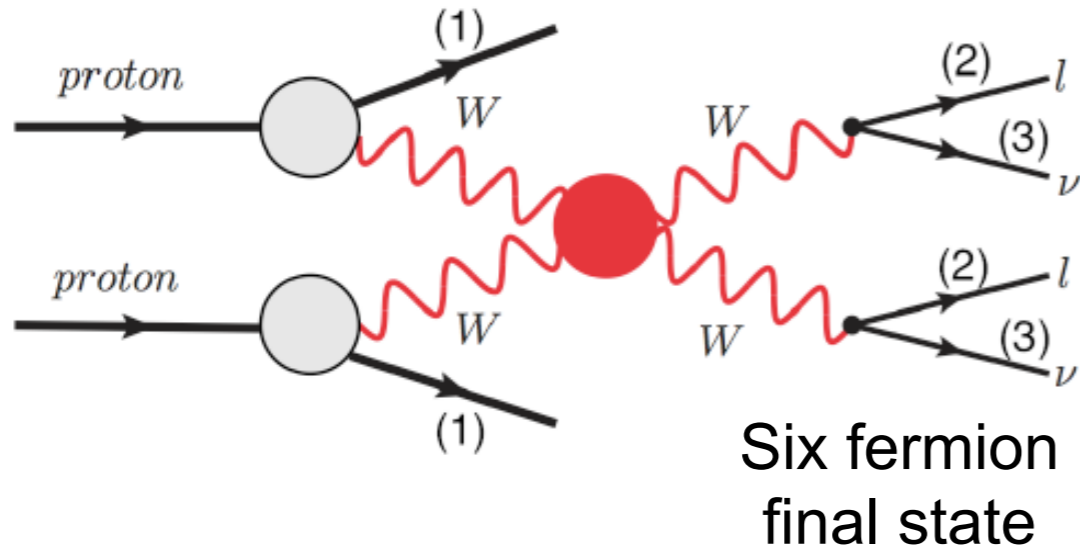
$$\sigma = 34 \text{ fb}^{+18\%}_{-15\%} \text{ (QCD scale)} \pm 7\% \text{ (PDF}+\alpha_s) \pm 10\% \text{ (EFT)}$$



Con $L=3000 \text{ fb}^{-1}$ si otterrà una sensibilità di 3σ per esperimento

VV scattering: violazione unitarietà

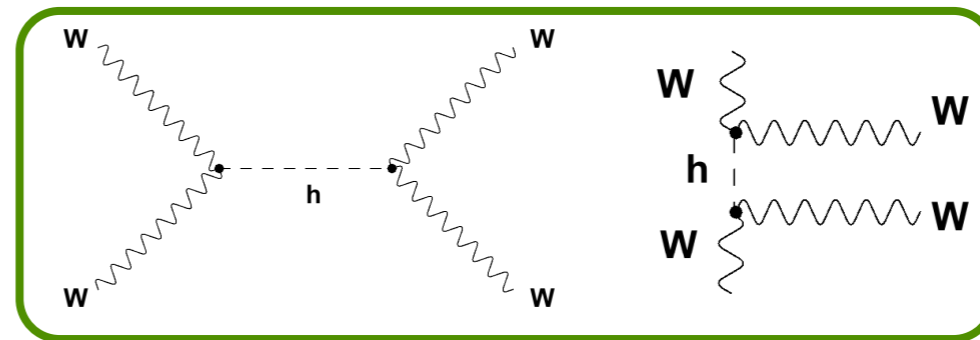
VV → VV



S channel

T channel

QGC



Senza il bosone di Higgs, $W^+_L W^-_L \rightarrow W^+_L W^-_L$ viola l'unitarietà a $\sqrt{s} \geq 1.2$ TeV

masse W, Z (\rightarrow gradi di libertà longitudinali) derivano dal meccanismo di Higgs:

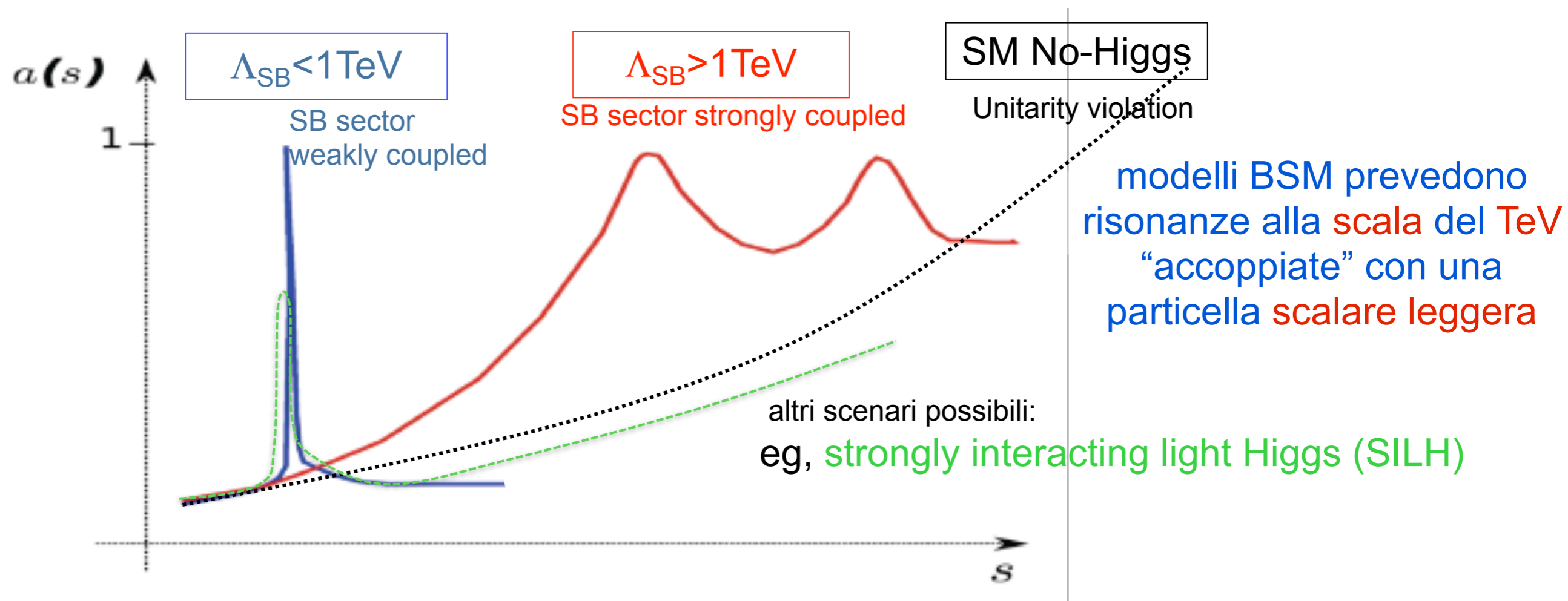
$$A(W^+_L W^-_L \rightarrow W^+_L W^-_L) \approx \frac{1}{v^2} \left(-s - t + \frac{s^2}{s - m_H^2} + \frac{t^2}{t - m_H^2} \right)$$

VV scattering is the smoking gun for EW Symmetry Breaking!

Taken from "Prospects for VV scattering: latest news" by S. Bolognesi (JHU) talk at Implications of LHC results for TeV-Scale physics (March 2012)

VV Scattering spectrum, $\sigma(VV \rightarrow VV)$ vs $M(VV)$

e' la sonda fondamentale per verificare la **natura del bosone di Higgs** o per trovare un **meccanismo alternativo dell'EW Symmetry Breaking**



Ricerca di ulteriori **risonanze nello spettro VBF**

Adaptation from "Boson Boson scattering analysis" by A.Ballestrero (INFN Torino)
talk at First LHC to Terascale Workshop (Sept 2011):

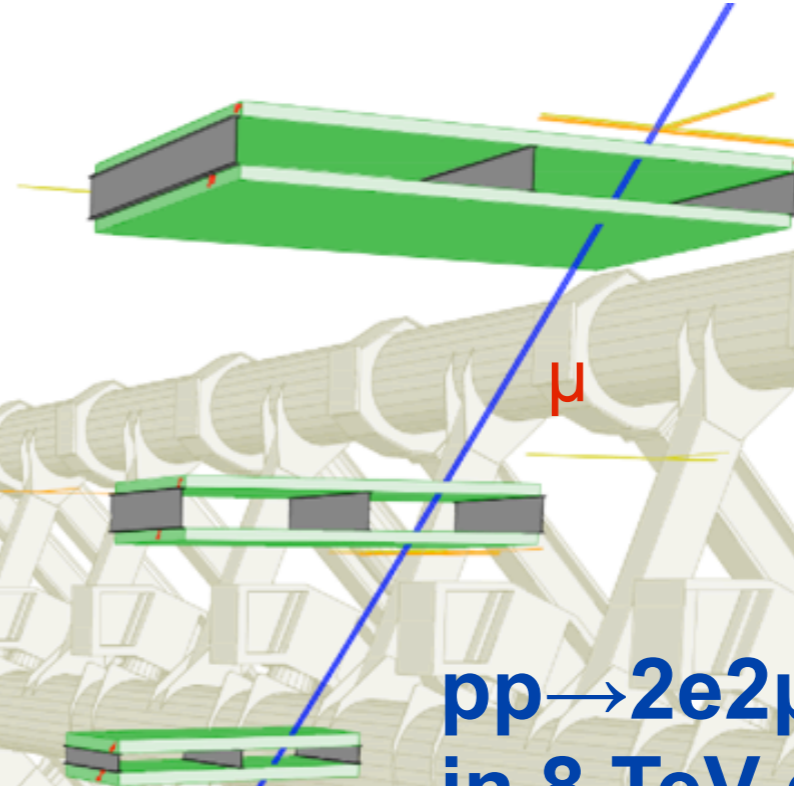
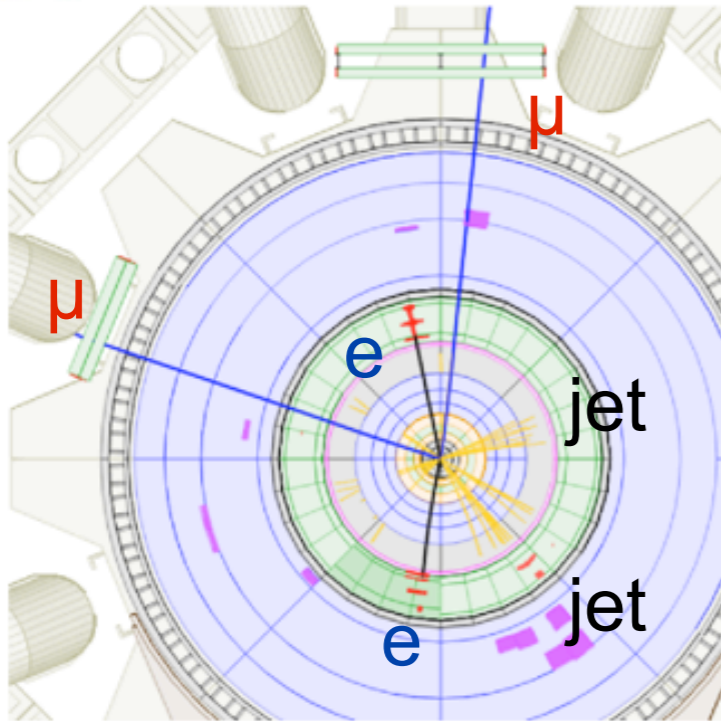


VBF 2e2μ candidate event

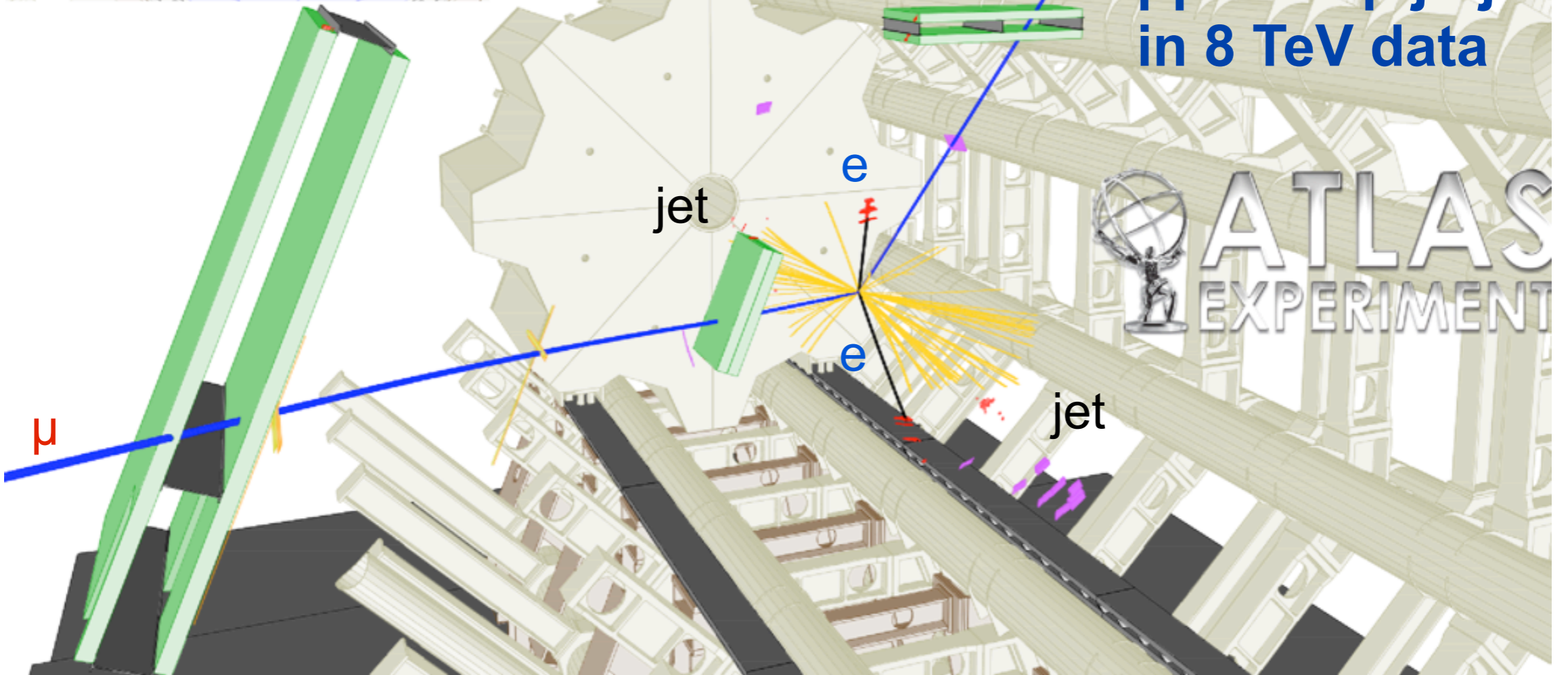


Run Number: 209109
 Event Number: 76170653
 Date: 2012-08-24, 08:31:00 CET

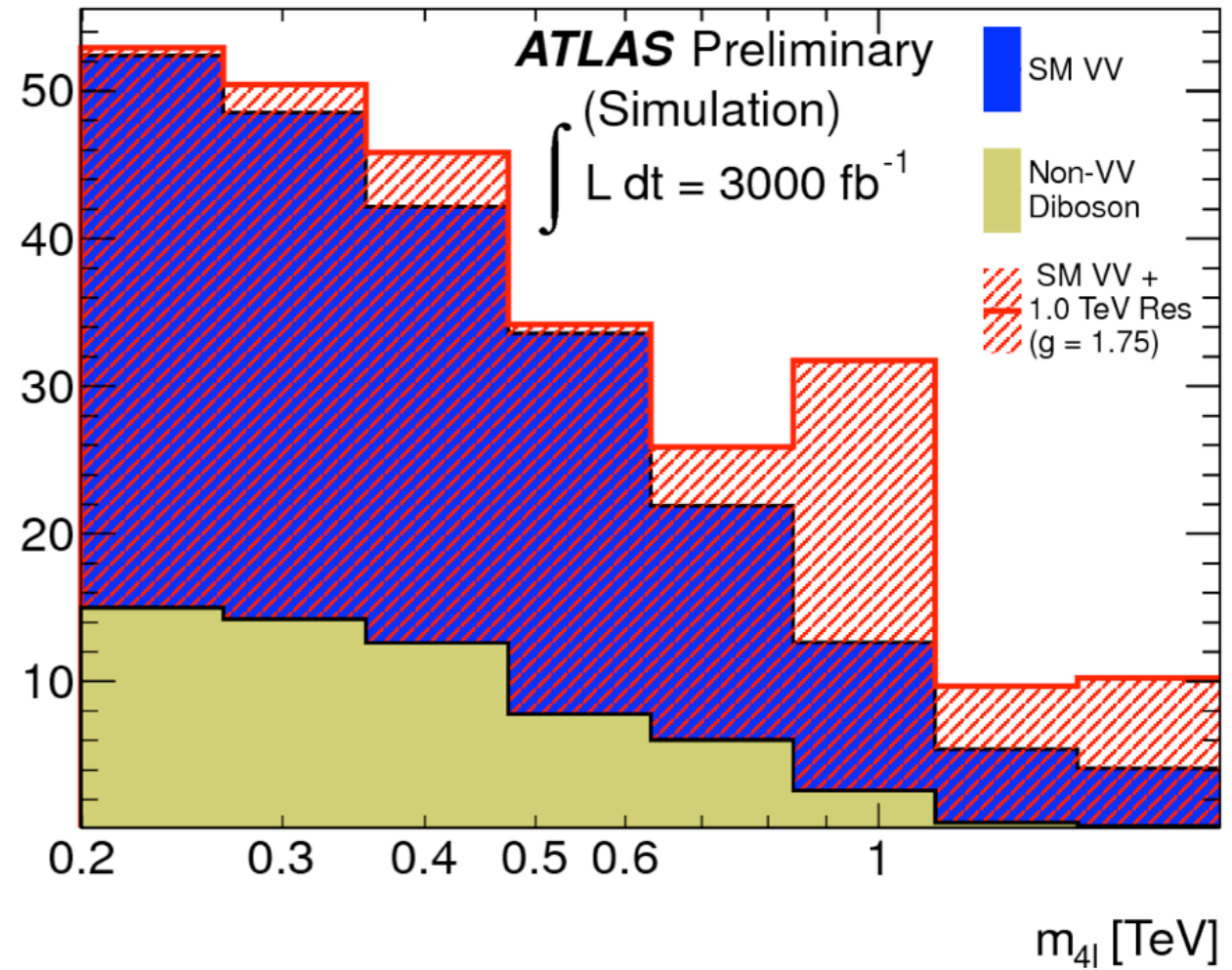
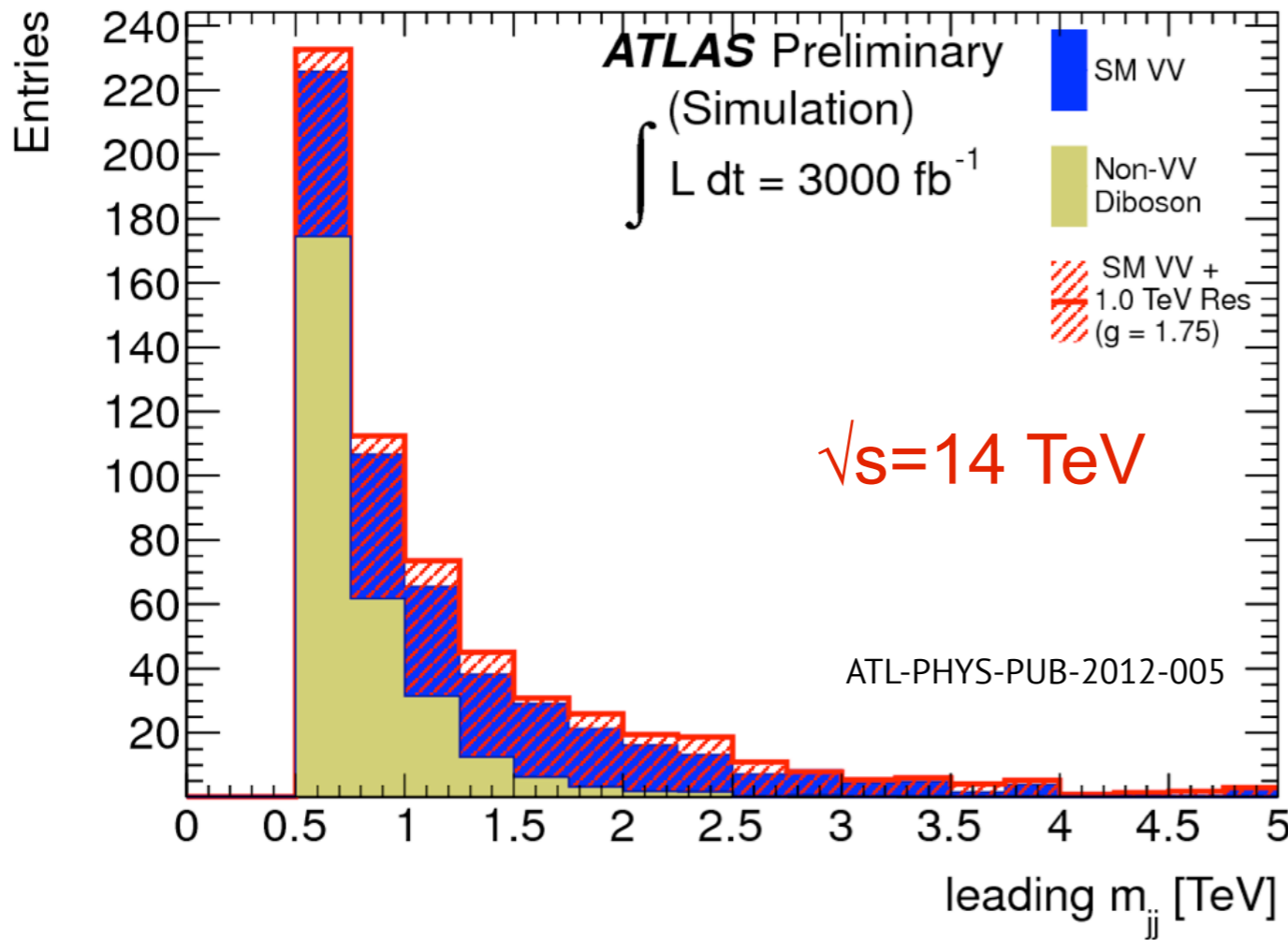
EtCut > 1.0 GeV
 PtCut > 0.4 GeV
 Muon: blue
 Electron: black
 Cells: Tiles, EMC



$pp \rightarrow 2e2\mu \text{ jetjet}$
 in 8 TeV data



$pp \rightarrow ZZ+2j \rightarrow 4\ell+2j$ channel



model	300 fb^{-1}	3000 fb^{-1}
$m_{\text{resonance}} = 500 \text{ GeV}, g = 1.0$	2.4σ	7.5σ
$m_{\text{resonance}} = 1 \text{ TeV}, g = 1.75$	1.7σ	5.5σ
$m_{\text{resonance}} = 1 \text{ TeV}, g = 2.5$	3.0σ	9.4σ

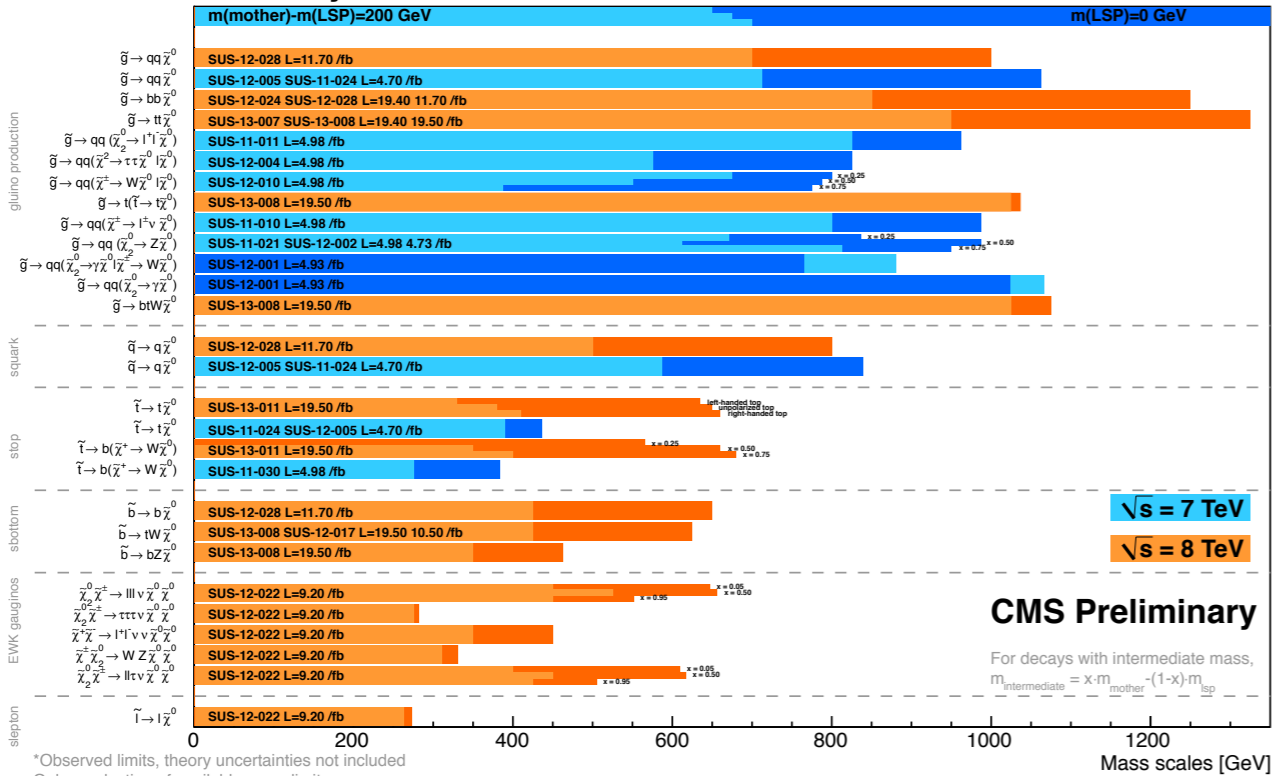
Sensibilità a risonanze anomale ZZ in Vector boson scattering



SUSY



Summary of CMS SUSY Results* in SMS framework LHC 2013



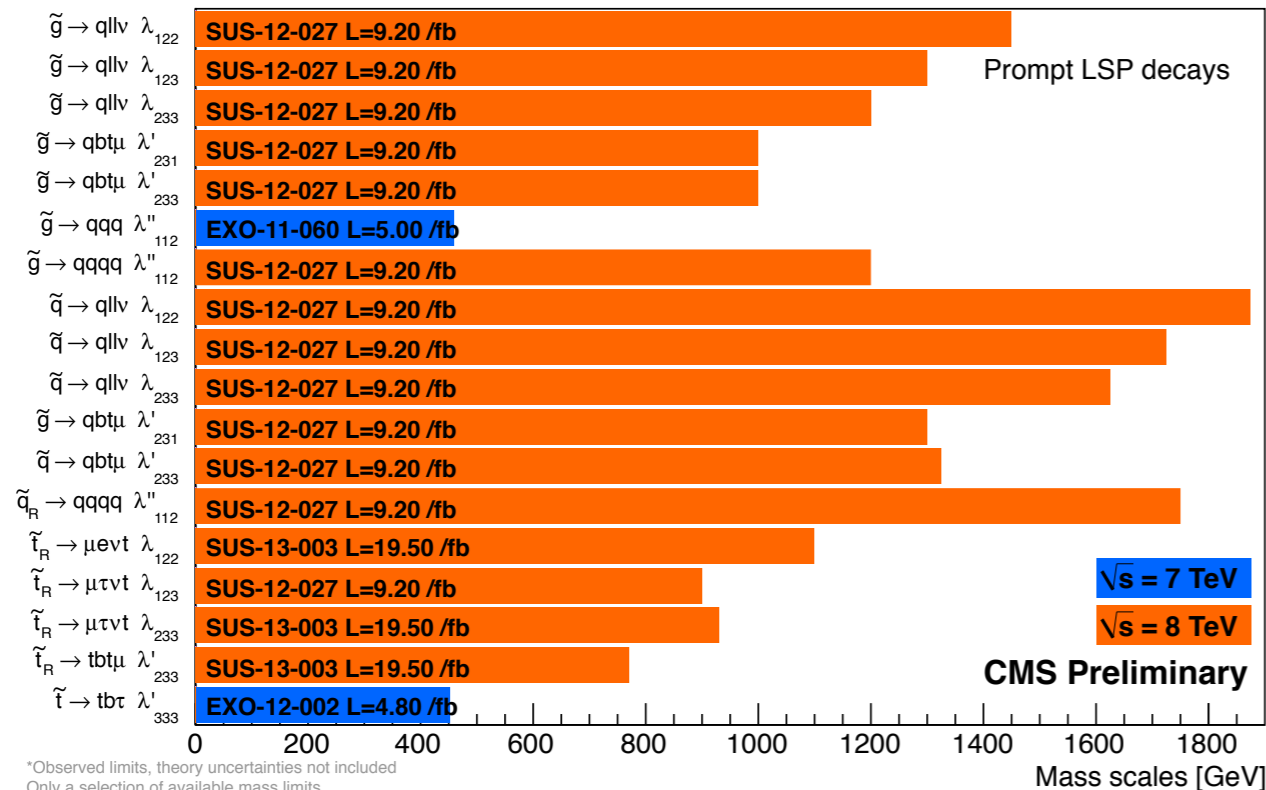
*Observed limits, theory uncertainties not included
Only a selection of available mass limits
Probe *up to* the quoted mass limit

Purtroppo nessun segnale...

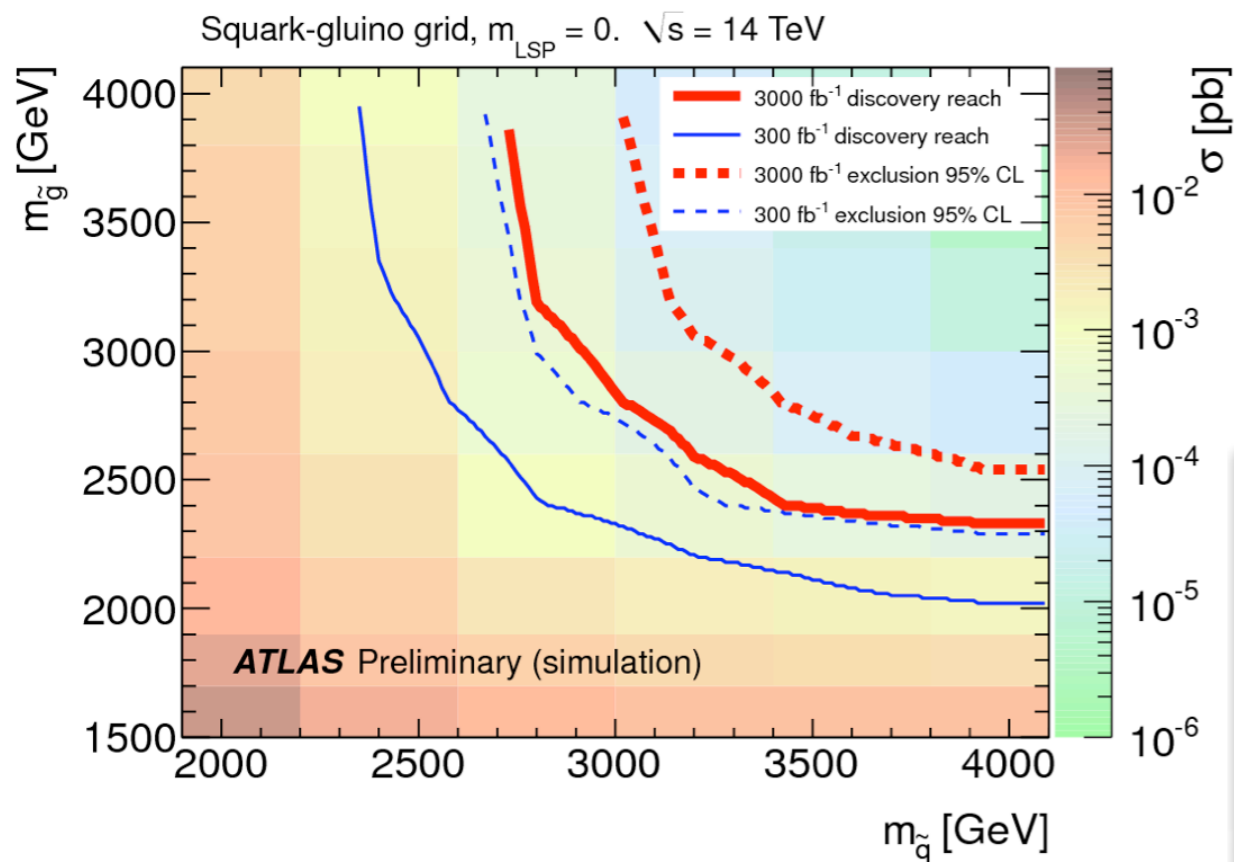
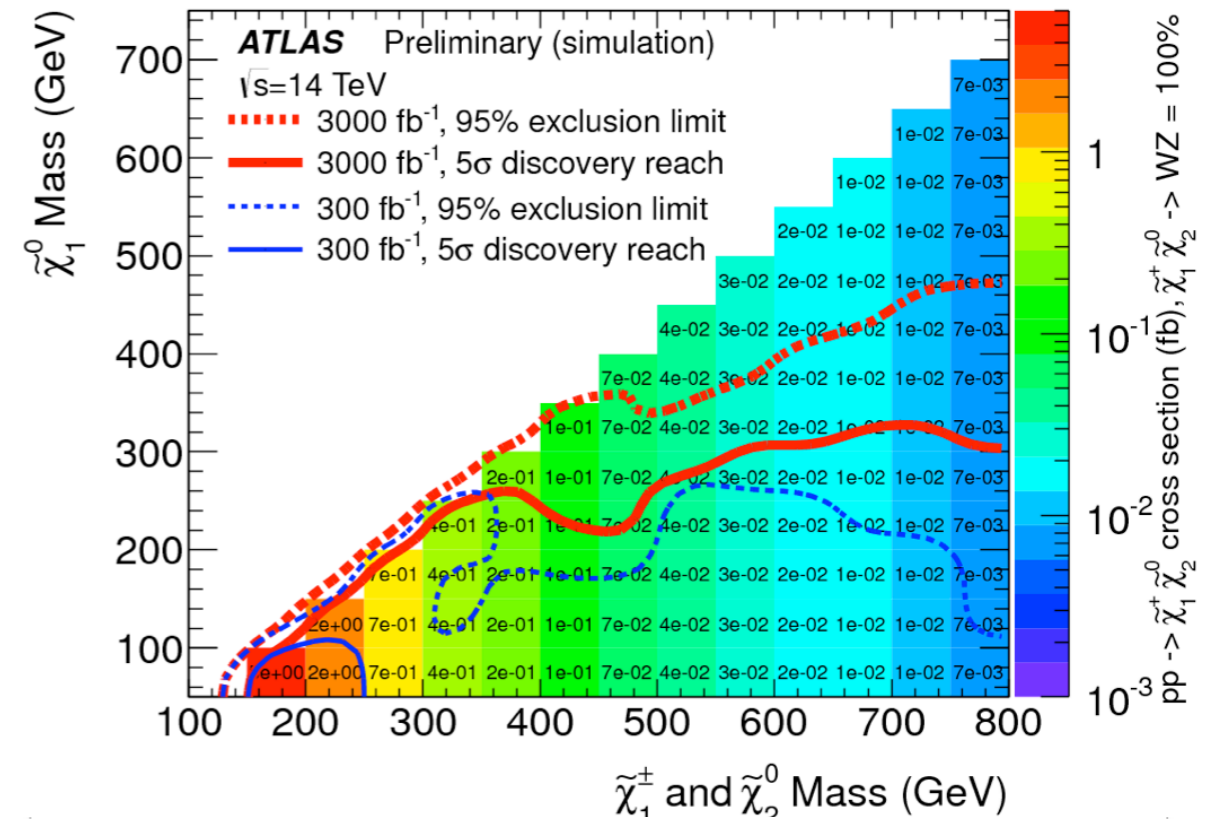
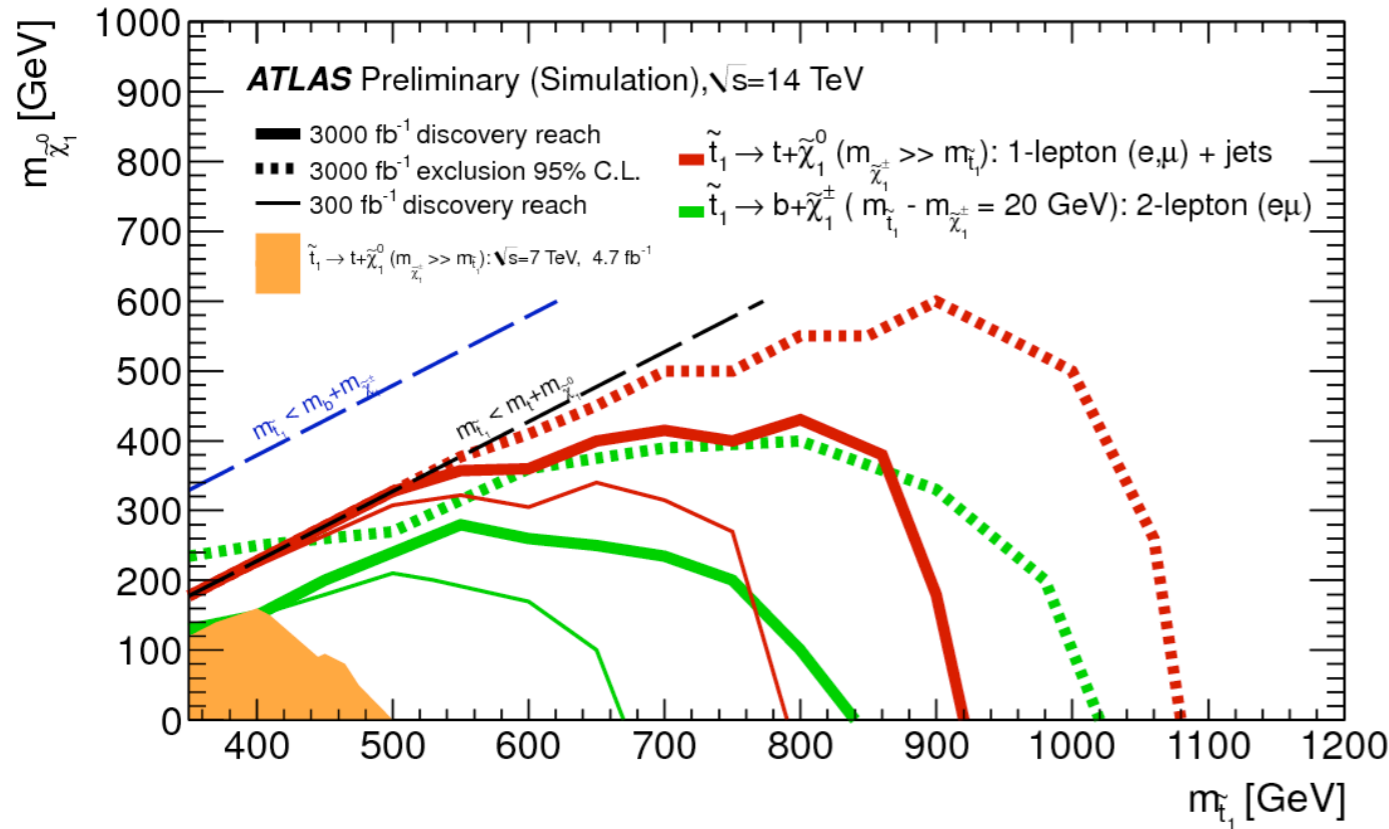
SUSY limiti odierni

- EWKinos ~200-400 GeV
- Stop, sbottoms ~200-600 GeV
- Squarks, gluinos ~600-1300 GeV

Summary of CMS RPV SUSY Results* LHC 2013



*Observed limits, theory uncertainties not included
Only a selection of available mass limits
Probe *up to* the quoted mass limit

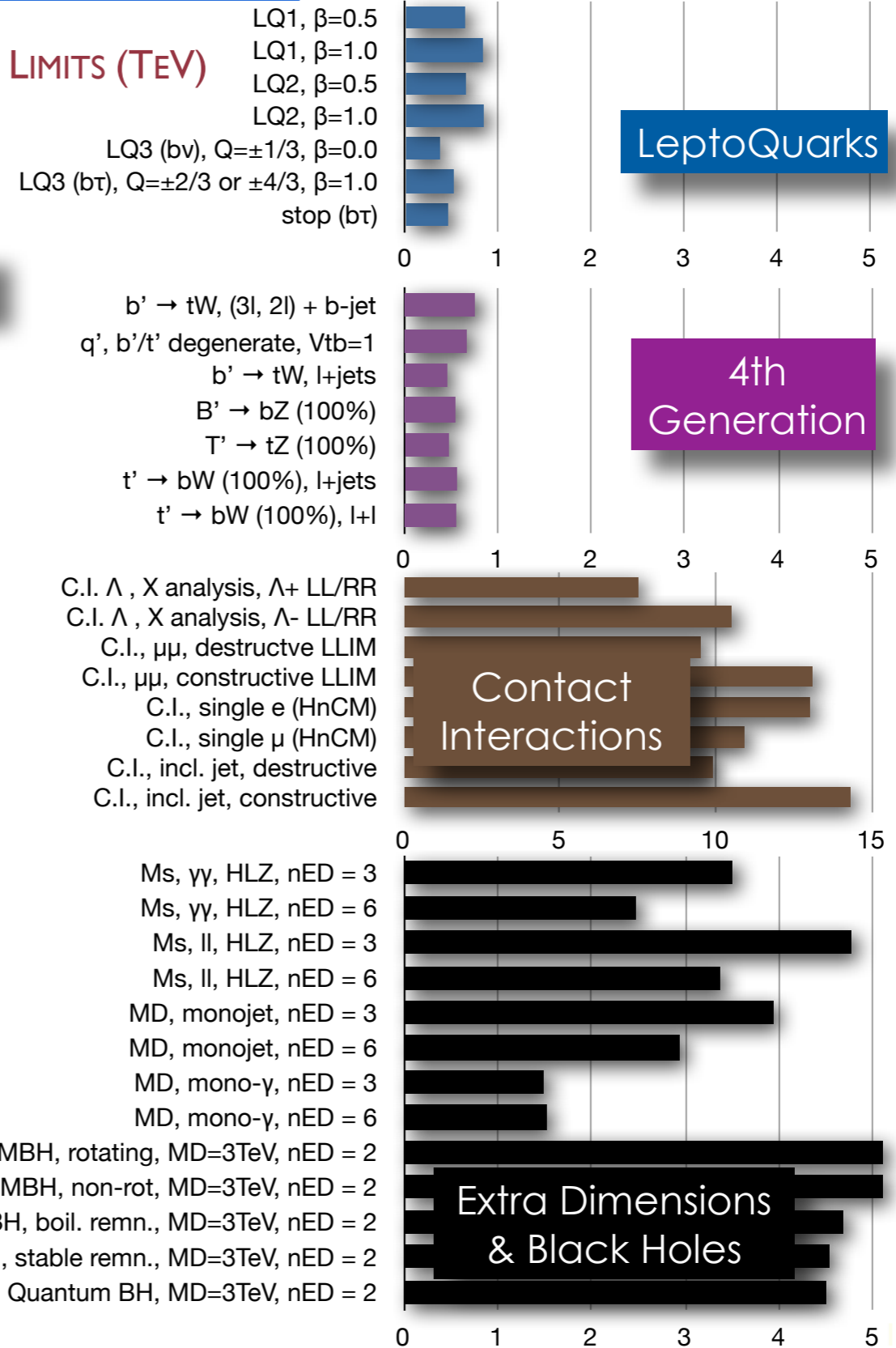
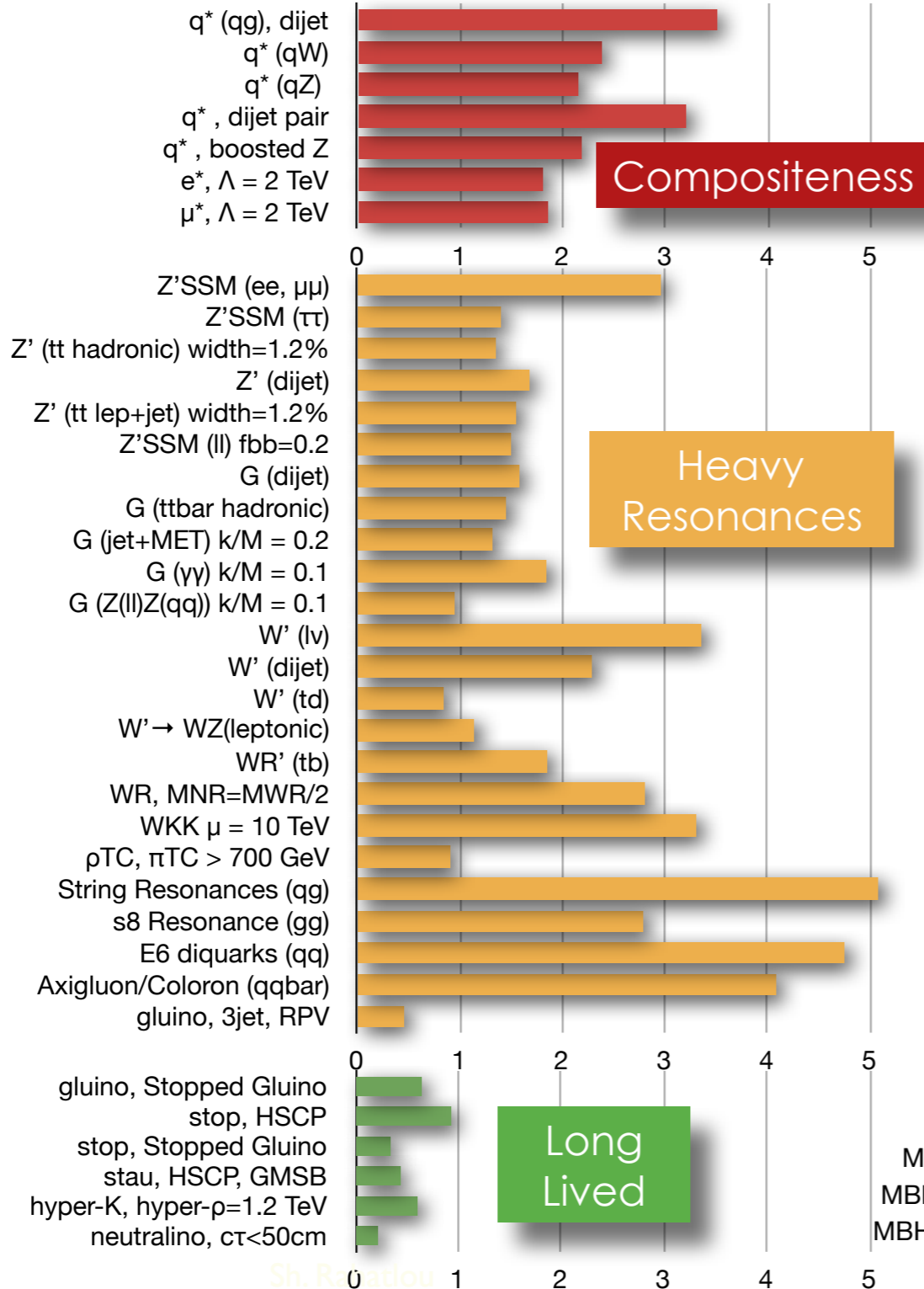


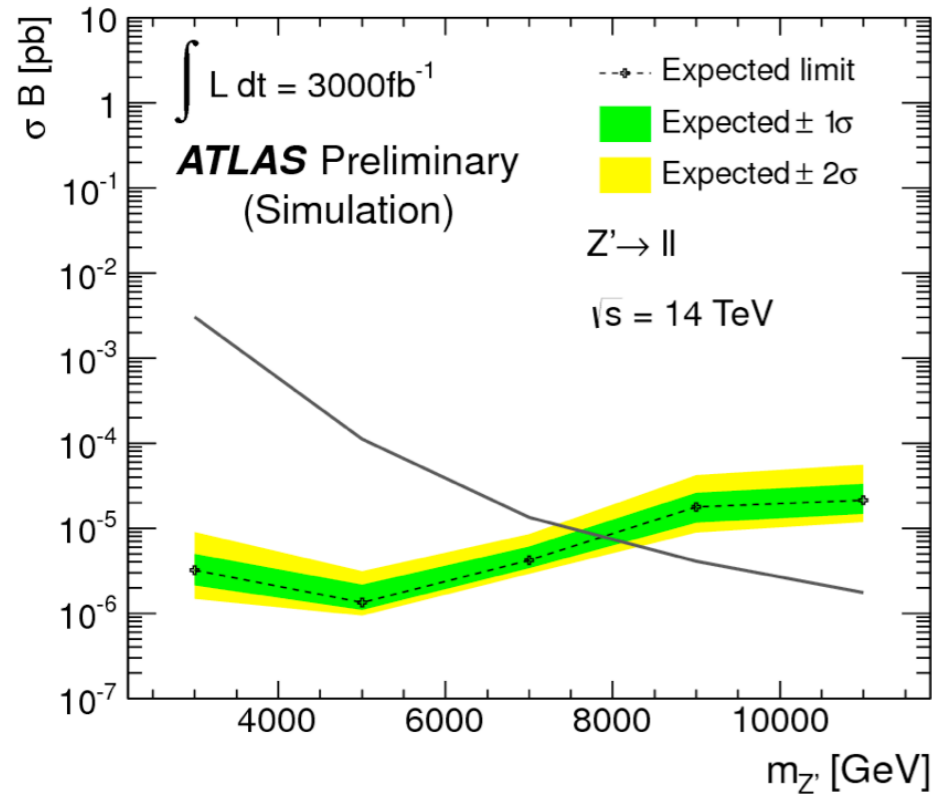
SUSY reach with 300 fb^{-1}
EWKinos fino a ~ 800 GeV
Stops, sbottoms fino a ~ 1 TeV
squarks, gluinos fino a ~ 2.5 TeV

Andado da $L=300 \text{ fb}^{-1}$ a $L=3000 \text{ fb}^{-1}$ la sensibilità a squarks di 1^a and 2^a gen. e ai gluinos migliora di $\sim 400-500$ GeV, mentre per gli stops di circa 200 GeV

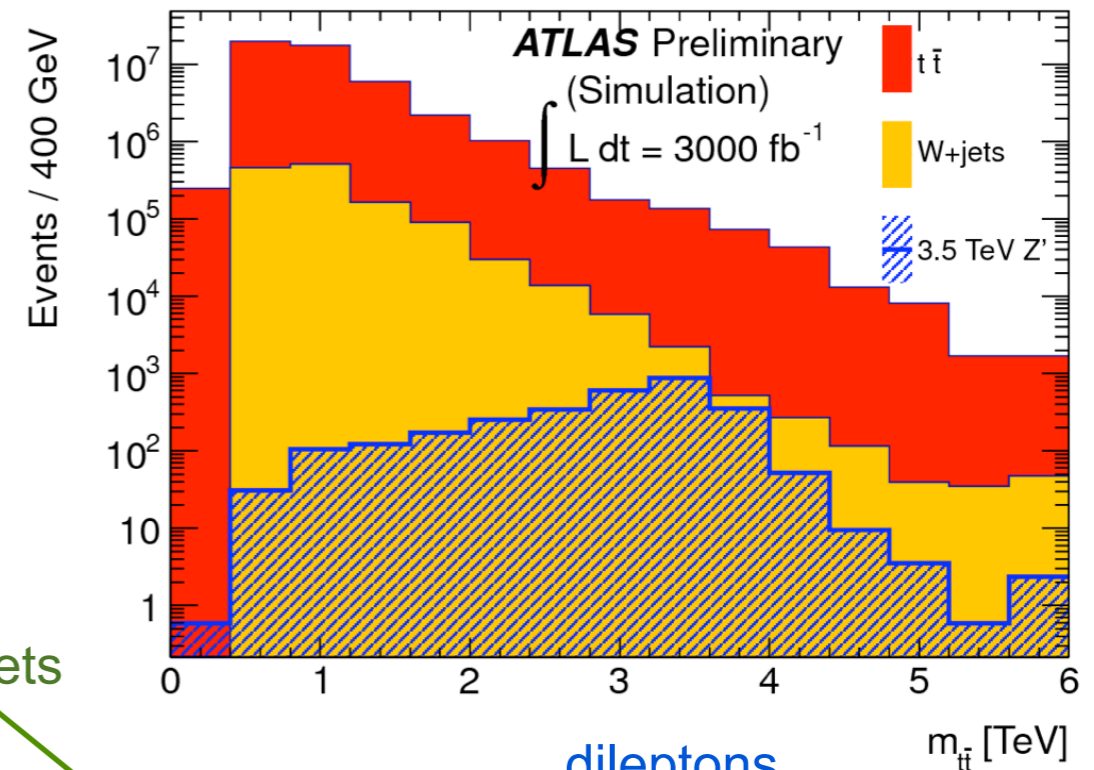
Situazione odierna

CMS EXOTICA 95% CL EXCLUSION LIMITS (TeV)





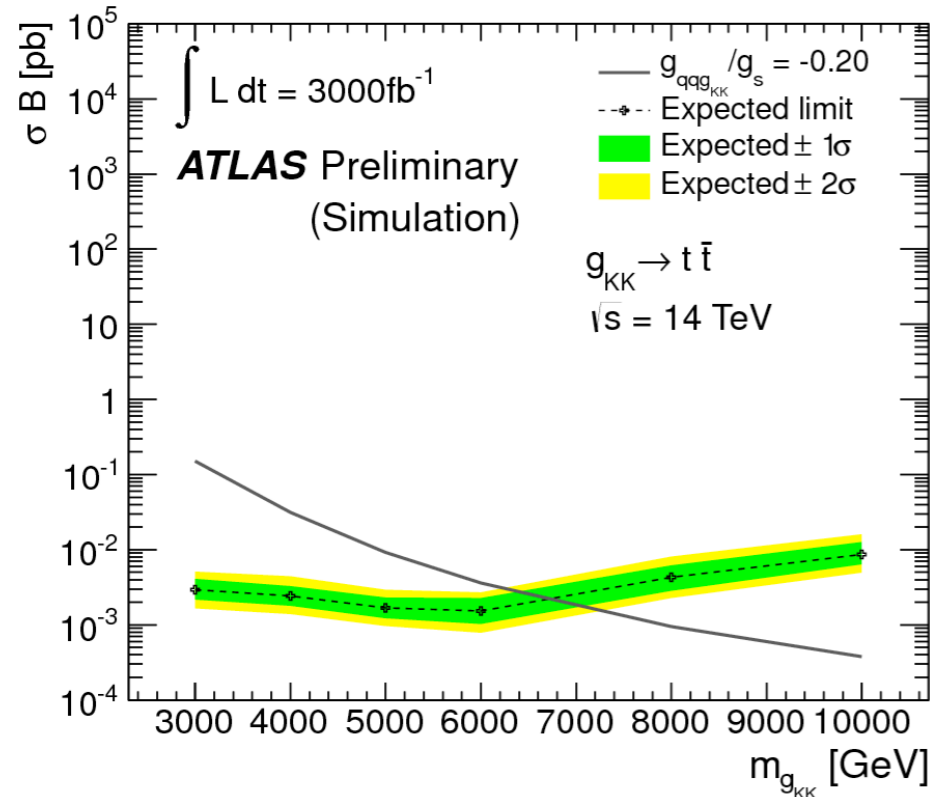
$Z'_{\text{Topcolour}}$



lepton+jets

dileptons

Kaluza-Klein gluons in extra-dimensional models



model	300fb^{-1}	1000fb^{-1}	3000fb^{-1}
g_{KK}	4.3 (4.0)	5.6 (4.9)	6.7 (5.6)
$Z'_{\text{Topcolour}}$	3.3 (1.8)	4.5 (2.6)	5.5 (3.2)
$Z'_{SSM} \rightarrow ee$	6.5	7.2	7.8
$Z'_{SSM} \rightarrow \mu\mu$	6.4	7.1	7.6

Limiti attesi per varie topologie nello Sequential Standard Model. Tutti i limiti in massa sono in **TeV**.



Conclusioni

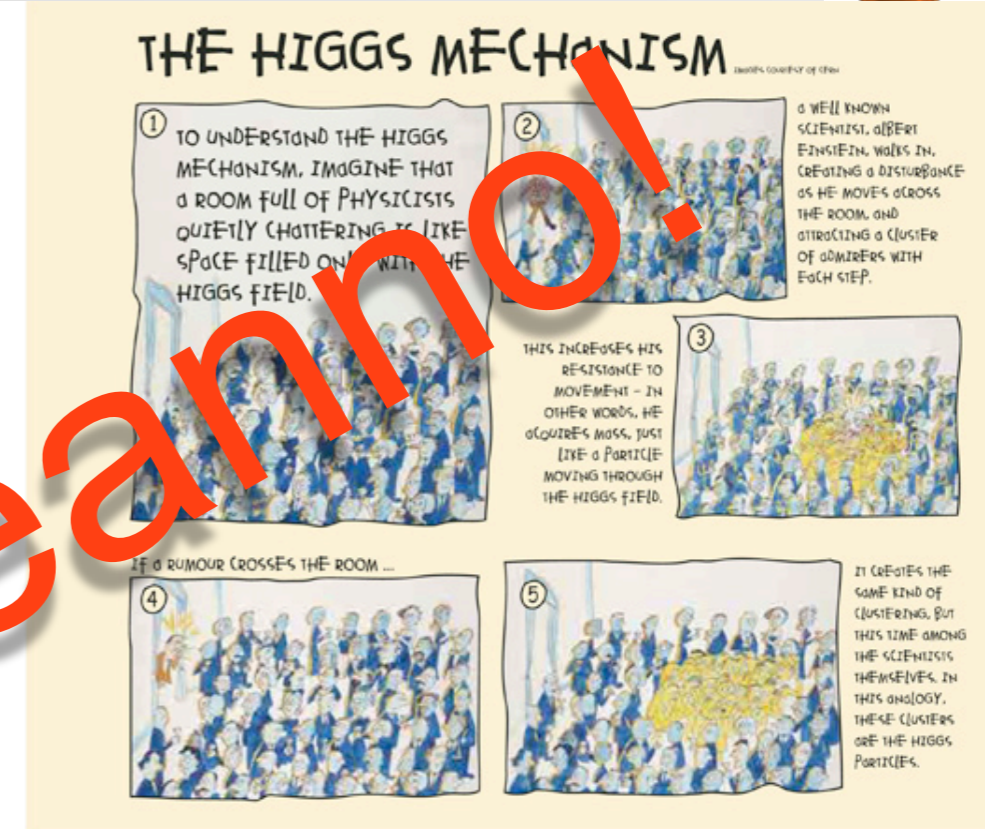


- ATLAS e CMS hanno superato le previsioni nel primo run di presa dati a LHC.
- Questo ha portato alla scoperta di un nuovo bosone compatibile con il bosone di Higgs del Modello Standard.
- La nuova energia nel centro di massa prevista per il 2015 apre una nuova interessantissima finestra su fisica oltre il Modello Standard.
- Un ambizioso programma di upgrade dei rivelatori e' cominciato per assicurare il funzionamento nei futuri runs ad alta luminosità in condizioni sperimentalmente assai più difficili.
- HL-LHC permetterà di misurare con alta precisione le caratteristiche del nuovo bosone e di studiare fenomeni estremamente rari.

**LHC ha un programma di fisica estremamente interessante
per i prossimi 20 anni!**

$$\mathcal{L} = -\frac{1}{4} F_{\mu\nu} F^{\mu\nu} + i\bar{\psi}\not{D}\psi + h.c. + \chi_i Y_{ij} \chi_j \phi + h.c. + |D_\mu \phi|^2 - V(\phi)$$

	Fermions			Bosons	
Quarks	<i>u</i> up	<i>c</i> charm	<i>t</i> top	γ photon	Force carriers
	<i>d</i> down	<i>s</i> strange	<i>b</i> bottom	<i>Z</i> Z boson	
Leptons	ν_e electron neutrino	ν_μ muon neutrino	ν_τ tau neutrino	<i>W</i> W boson	
	<i>e</i> electron	μ muon	τ tau	<i>g</i> gluon	
				<i>H</i> Higgs boson	



Backup

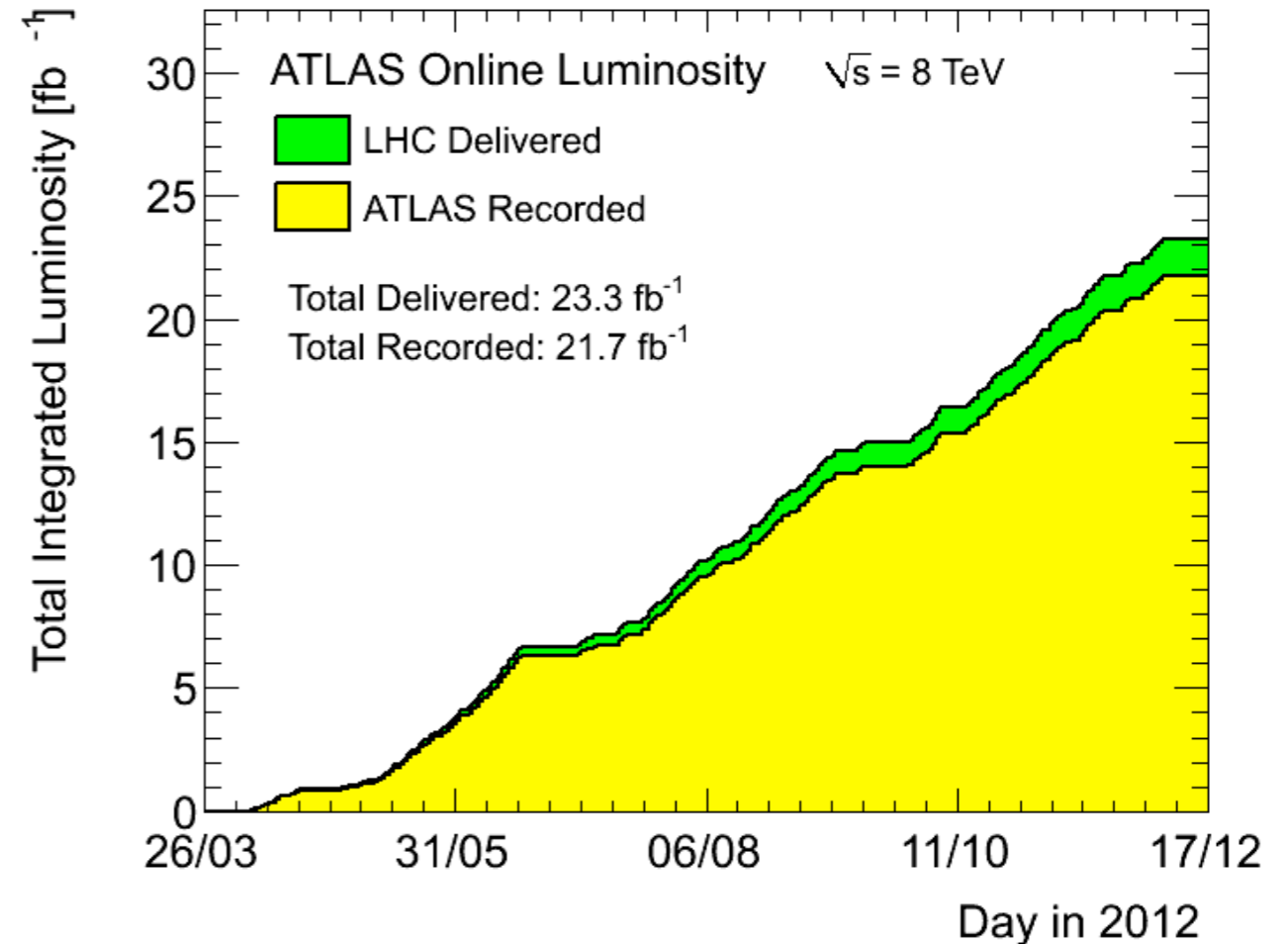
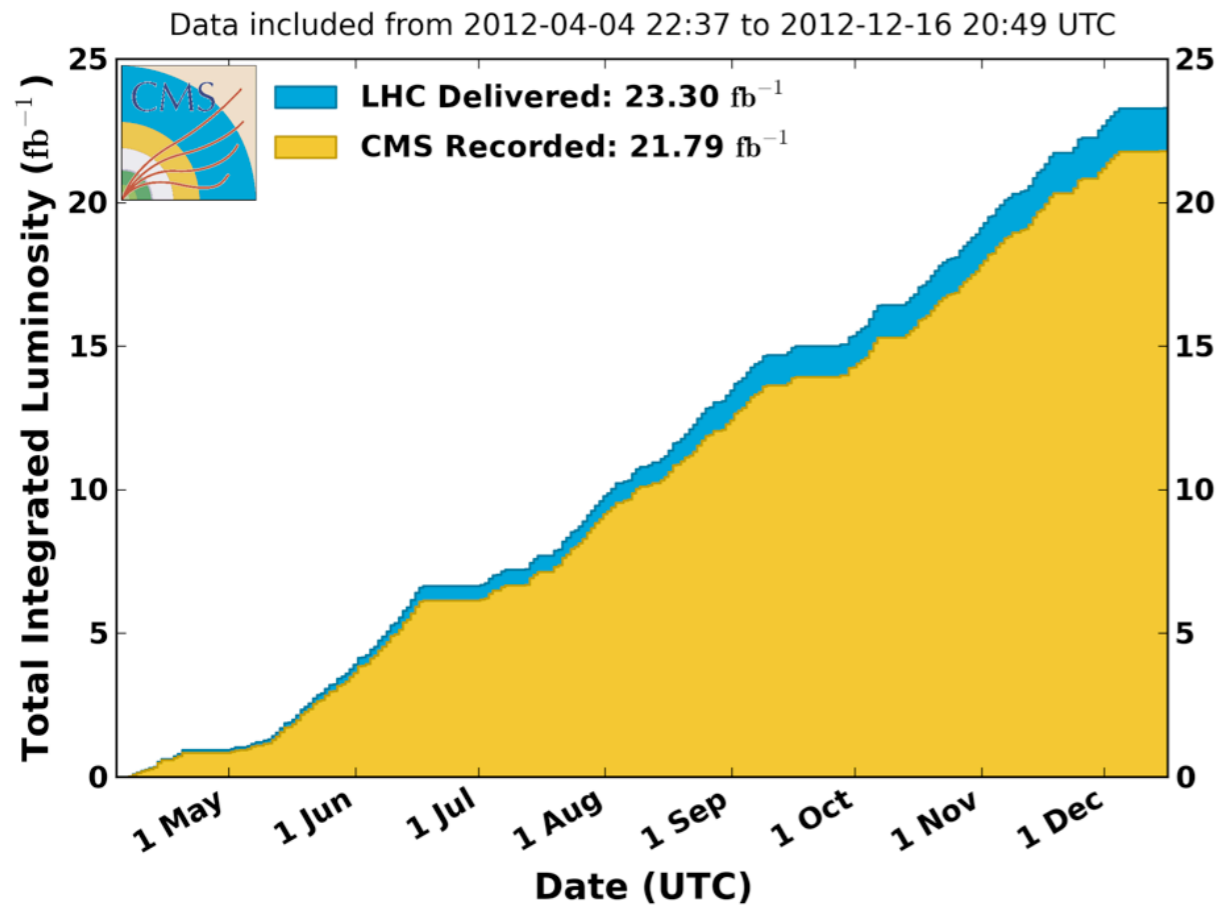


Integrated luminosity in 2012

Integrated luminosity recorded in 2012: $\sim 22 \text{ fb}^{-1}$

2011: $L \sim 6 \text{ fb}^{-1}$

CMS Integrated Luminosity, pp, 2012, $\sqrt{s} = 8 \text{ TeV}$



Total delivered luminosity: $\sim 30 \text{ fb}^{-1}$

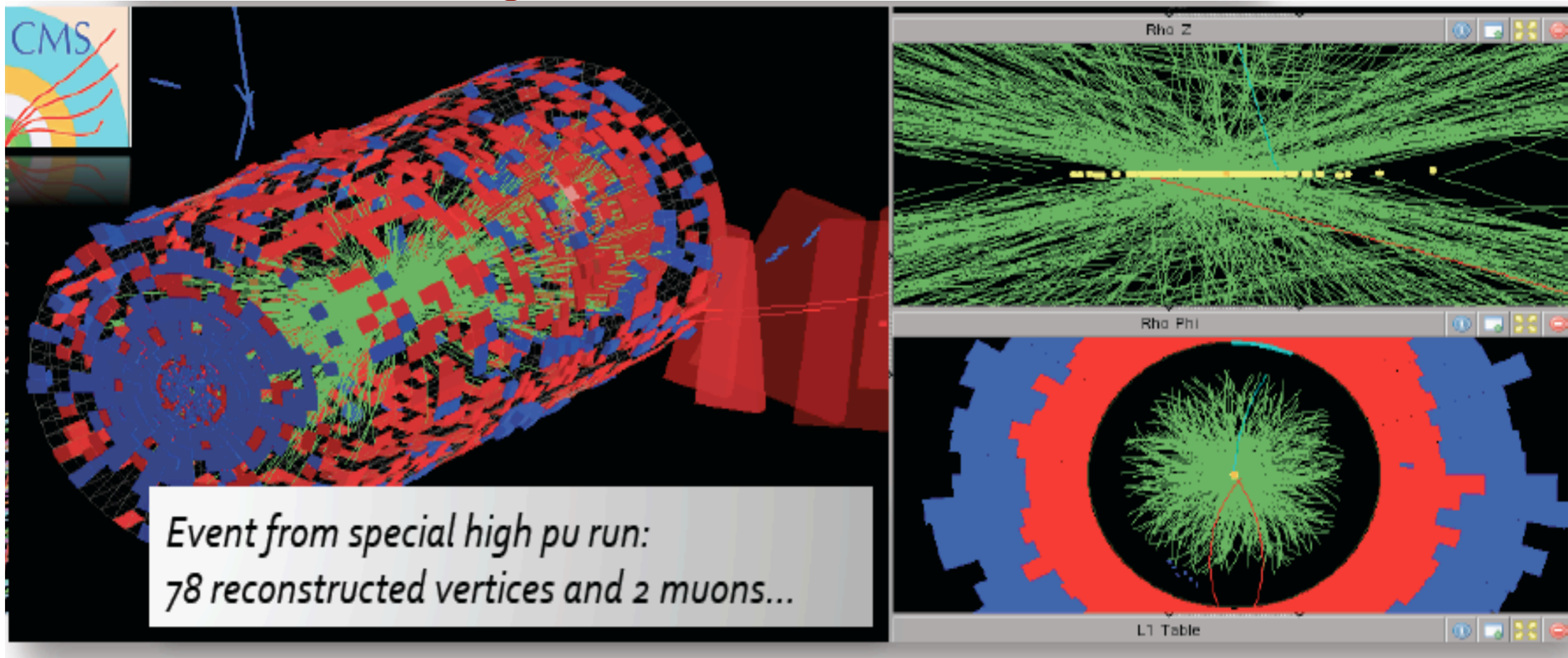
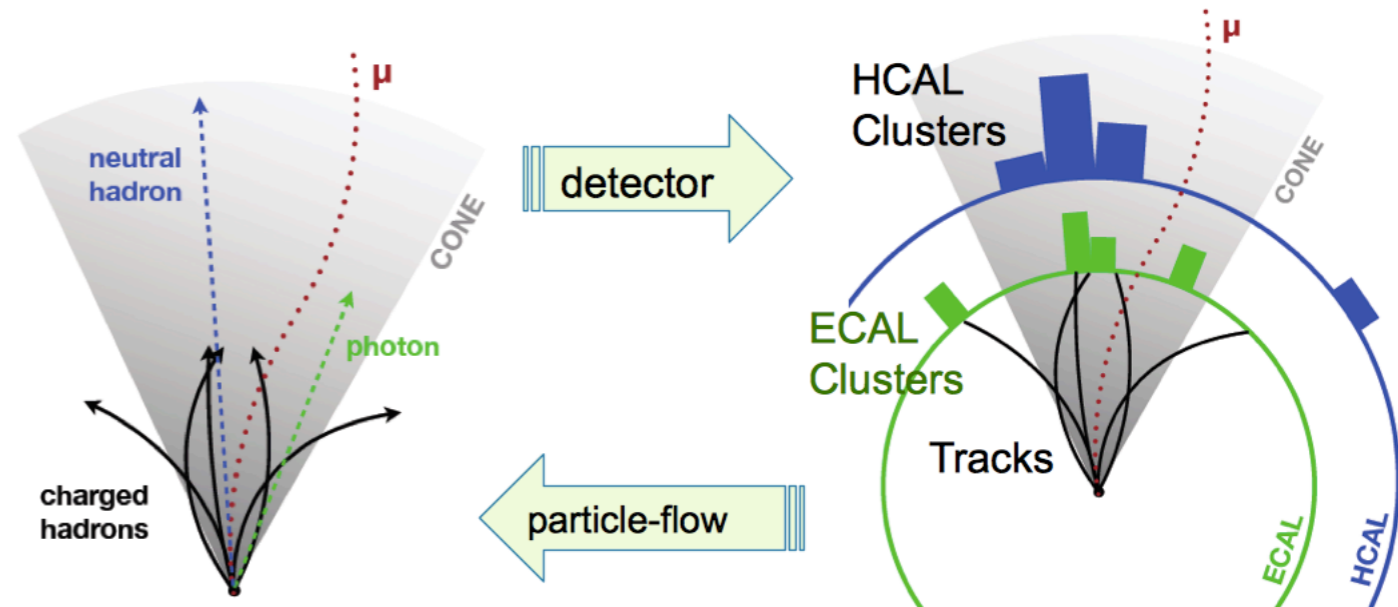
Total recorded luminosity: $\sim 27 \text{ fb}^{-1}$

Excellent LHC performance and very high data-taking efficiency of the two detectors

Maintain low trigger thresholds, efficient particle and physics object reconstruction at high rate and pile-up

Need new technology R&Ds to:

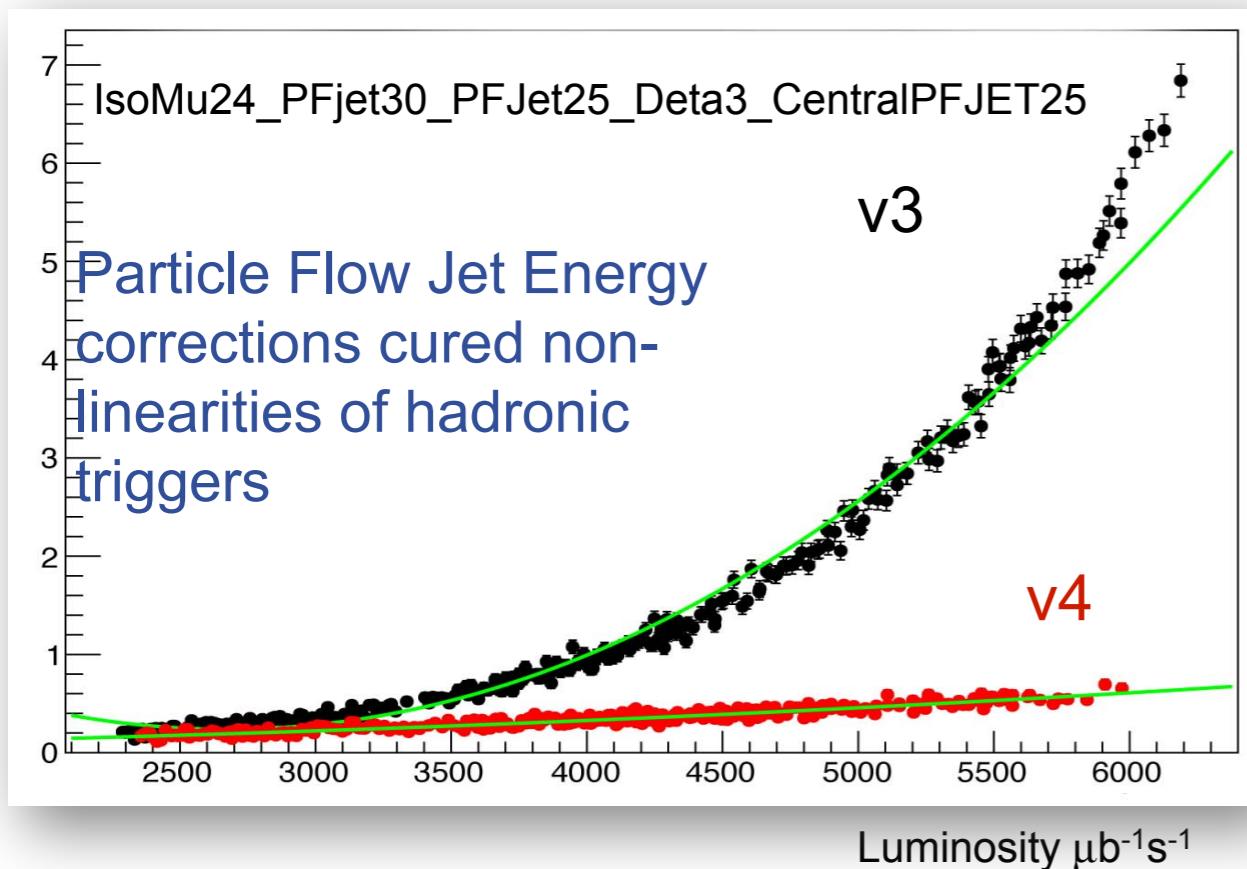
- Increase granularity
- Increase data bandwidth
- Increase processing power
- Improve radiation hardness
- Minimize material in tracking devices



Maintaining high trigger efficiency while keeping the trigger rate within budget was one of the biggest challenges of the CMS experiment in 2012

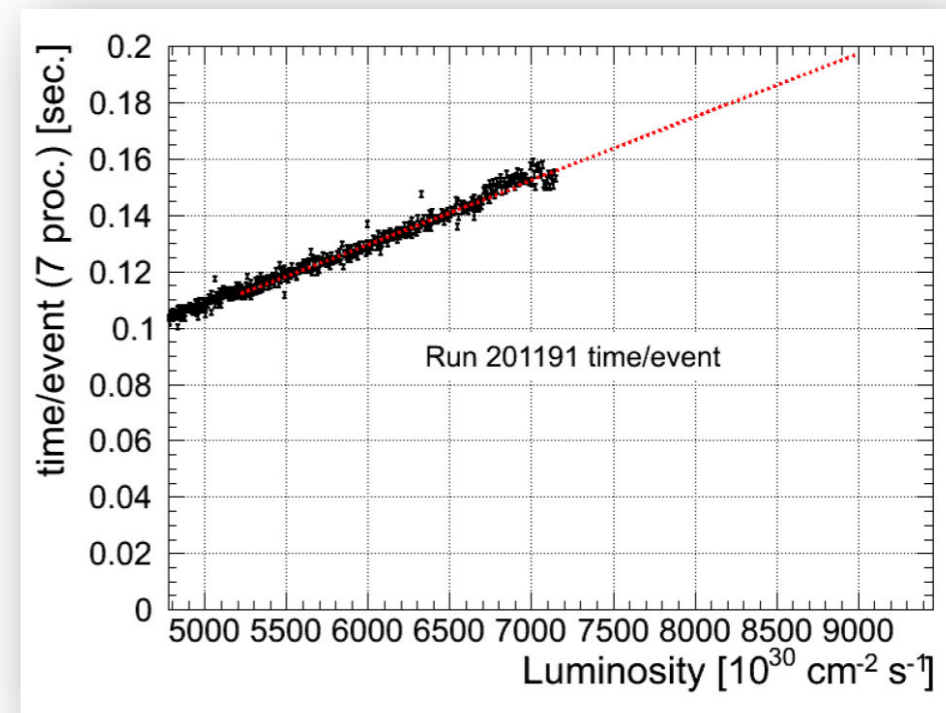
The experience obtained in 2012 with peak pileup of ~ 35 events gives us confidence for high-luminosity running post Long Shutdown 1

Trigger Cross-sections:



HLT CPU time:

- linear with PU, no signs of runaway



Reconstruction of hard collisions in high pileup environment requires detectors with very high granularity:

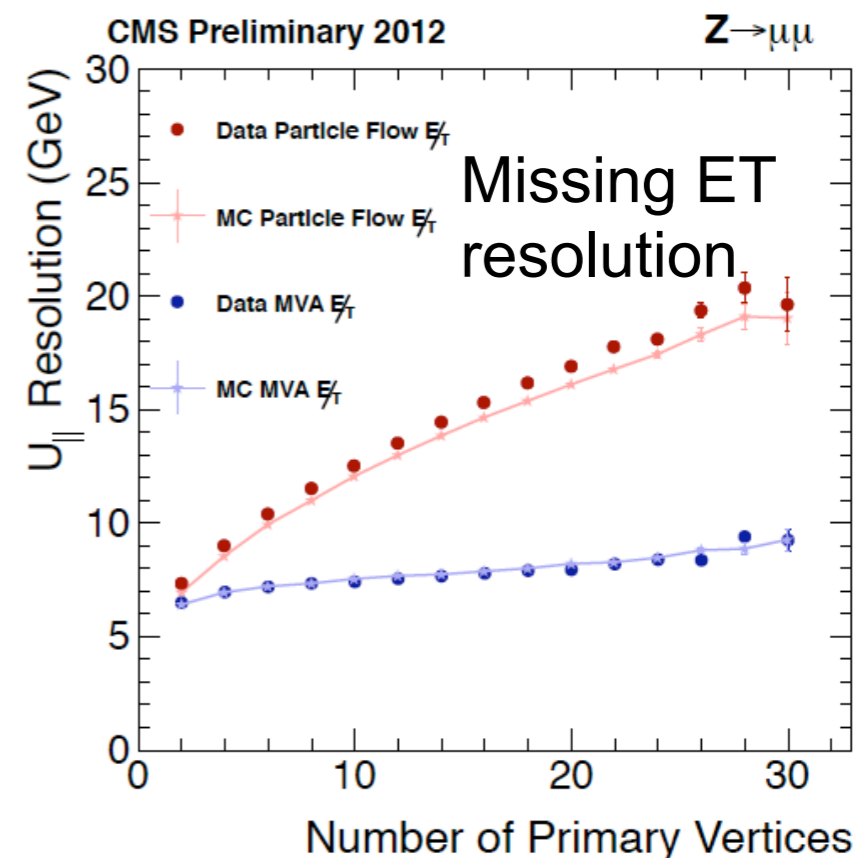
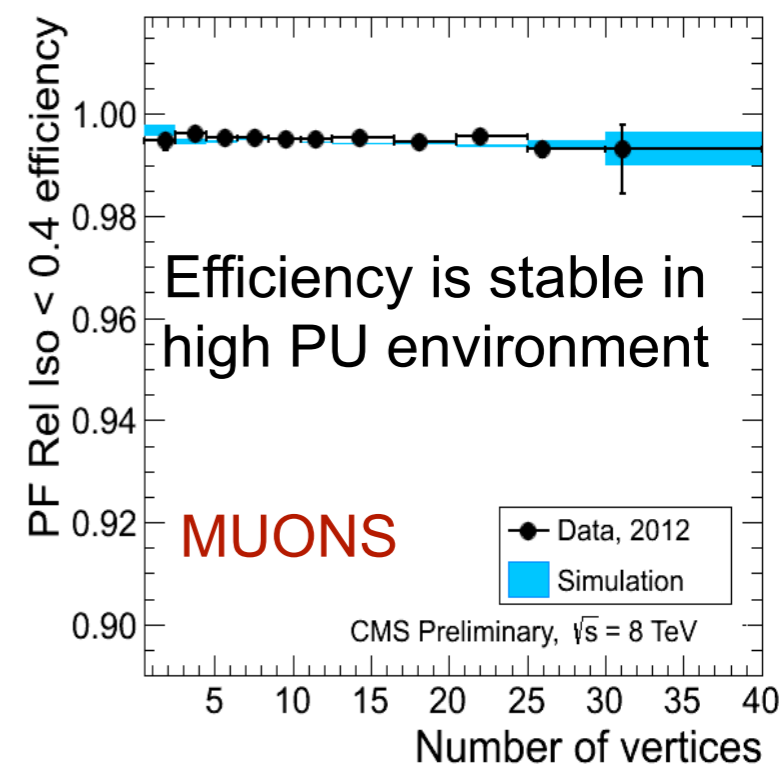
- efficient association of charged tracks to collision vertices
- reconstruction of charged and neutral particles in jets
- pileup neutrals corrected w/global energy density (ρ)

Physics with high pileup requires full particle flow reconstruction assuring:

- precise jet energy correction
- robust missing energy measurement
- efficient lepton isolation

Very efficient reconstruction code is needed to stay within computing budget

Muon isolation





From 2013 to HL-LHC

- From 30 to 3000 fb⁻¹: two orders of magnitude extrapolation in luminosity

To calculate physics projections at HL-LHC



Similar trigger and reconstruction performances as in 2012

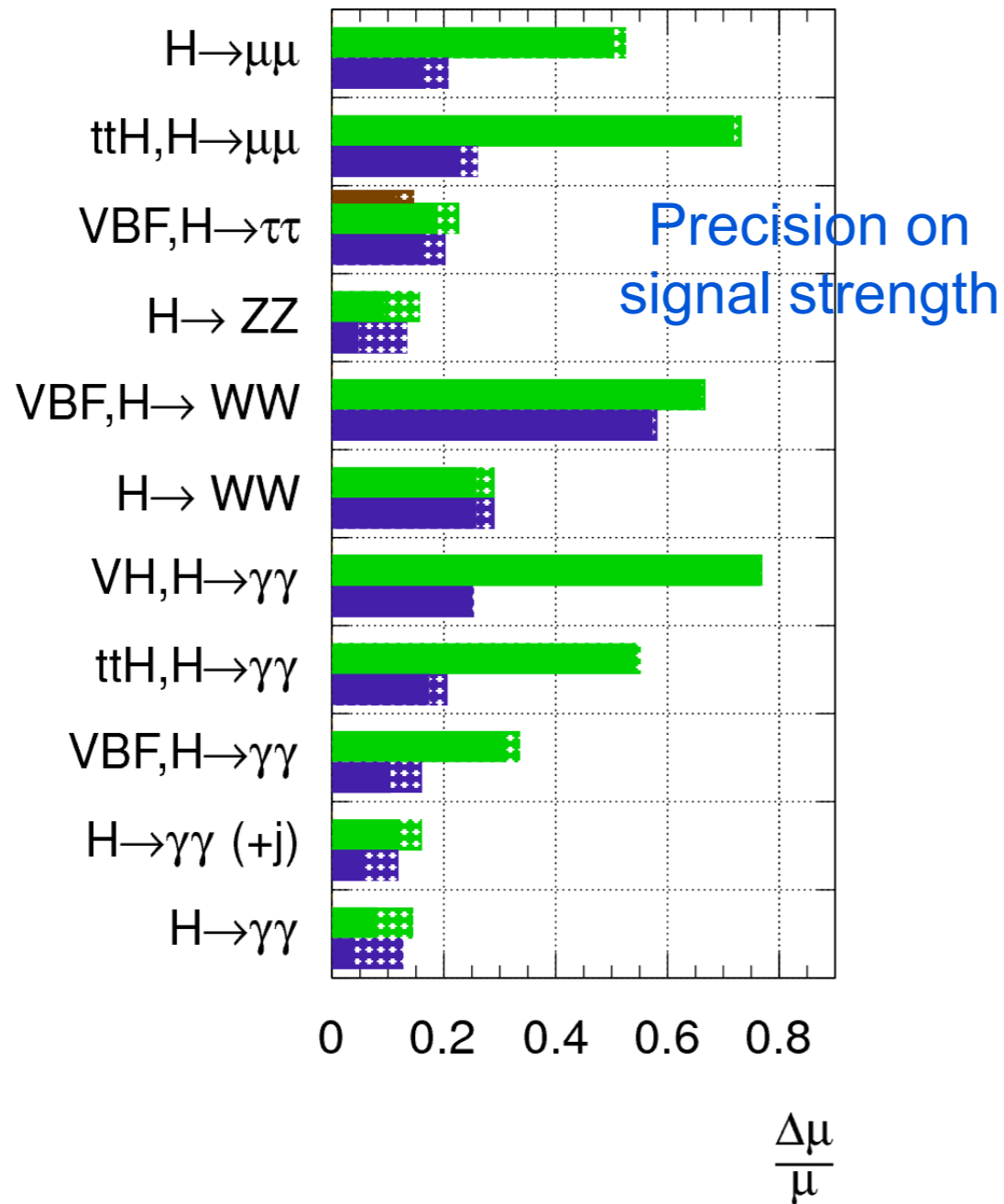
Need upgraded detectors to offset the much harsher LHC conditions and radiation damage

ATLAS and CMS have launched a comprehensive upgrade program

Higgs boson couplings @3000 fb⁻¹

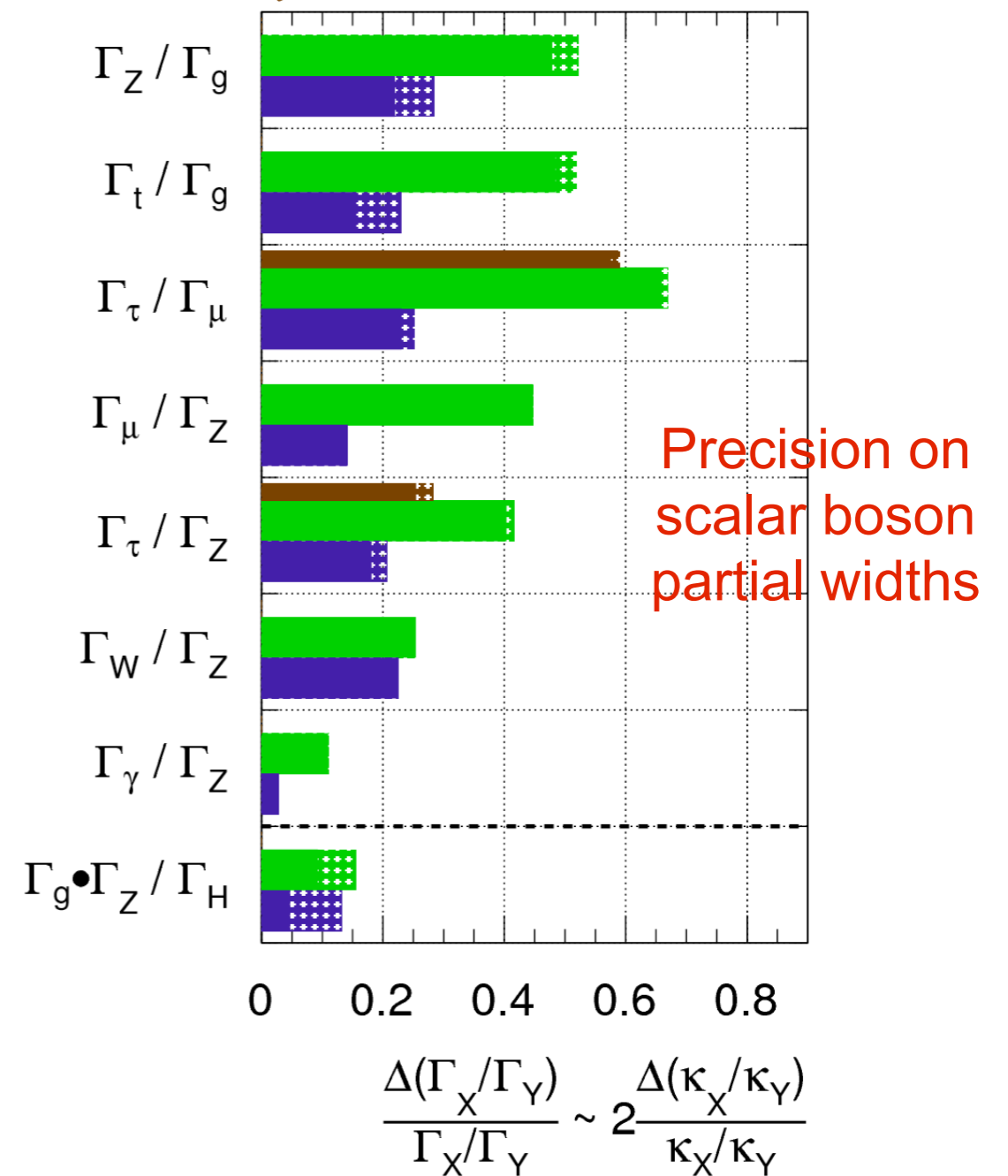
ATLAS Preliminary (Simulation)

$\sqrt{s} = 14$ TeV: $\int Ldt=300$ fb⁻¹ ; $\int Ldt=3000$ fb⁻¹
 $\int Ldt=300$ fb⁻¹ extrapolated from 7+8 TeV



ATLAS Preliminary (Simulation)

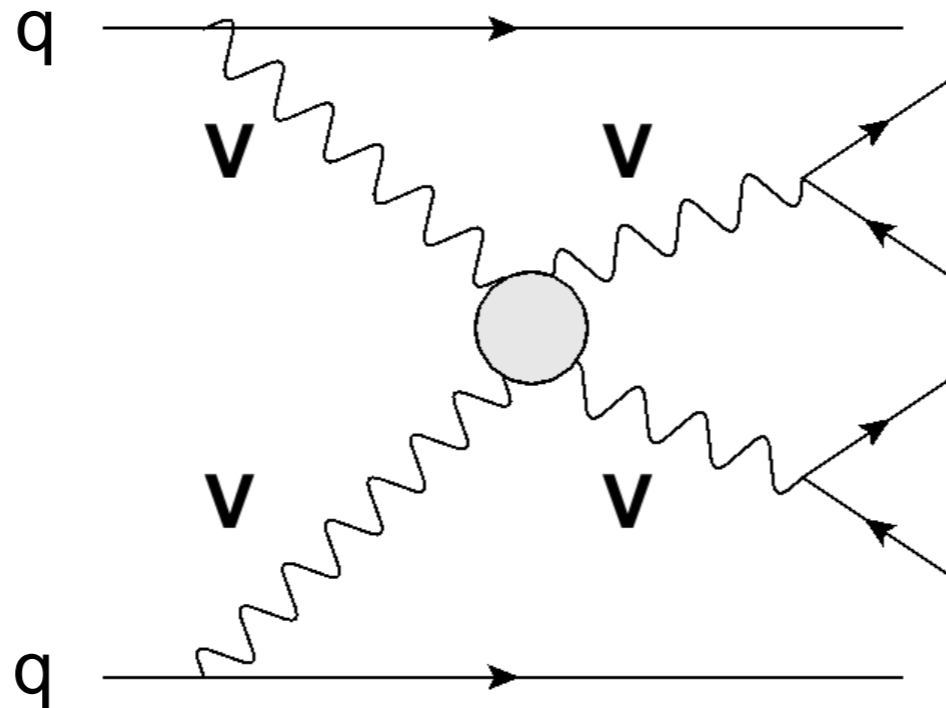
$\sqrt{s} = 14$ TeV: $\int Ldt=300$ fb⁻¹ ; $\int Ldt=3000$ fb⁻¹
 $\int Ldt=300$ fb⁻¹ extrapolated from 7+8 TeV



- With 3000 fb⁻¹ the couplings can be determined with high precision (a few %)

Vector Boson Fusion (VBF)

Generic diagram for vector boson fusion (VBF) process



Signature: forward-backward “spectator” jets with very high energy

- Once the vector bosons decay, we have a **six-fermion** final state
- The full set of $qq \rightarrow 6$ fermions diagrams has to be considered
- In order to investigate EWSB, one has to isolate VV processes from all other six-fermion final states

➡ Apply tight kinematic cuts

Typical kin. cuts

$$\begin{aligned}
 & p_{T,j} > 20 \text{ GeV} \quad |\eta_j| < 5 \quad p_T^{\text{tag}} > 30 \text{ GeV} \quad |\eta_{j1} - \eta_{j2}| > 4.0 \\
 & \eta_{j1} \cdot \eta_{j2} < 0 \quad m_{jj} > 600 \text{ GeV}
 \end{aligned}$$

Semileptonic is most promising: reasonable signal yield

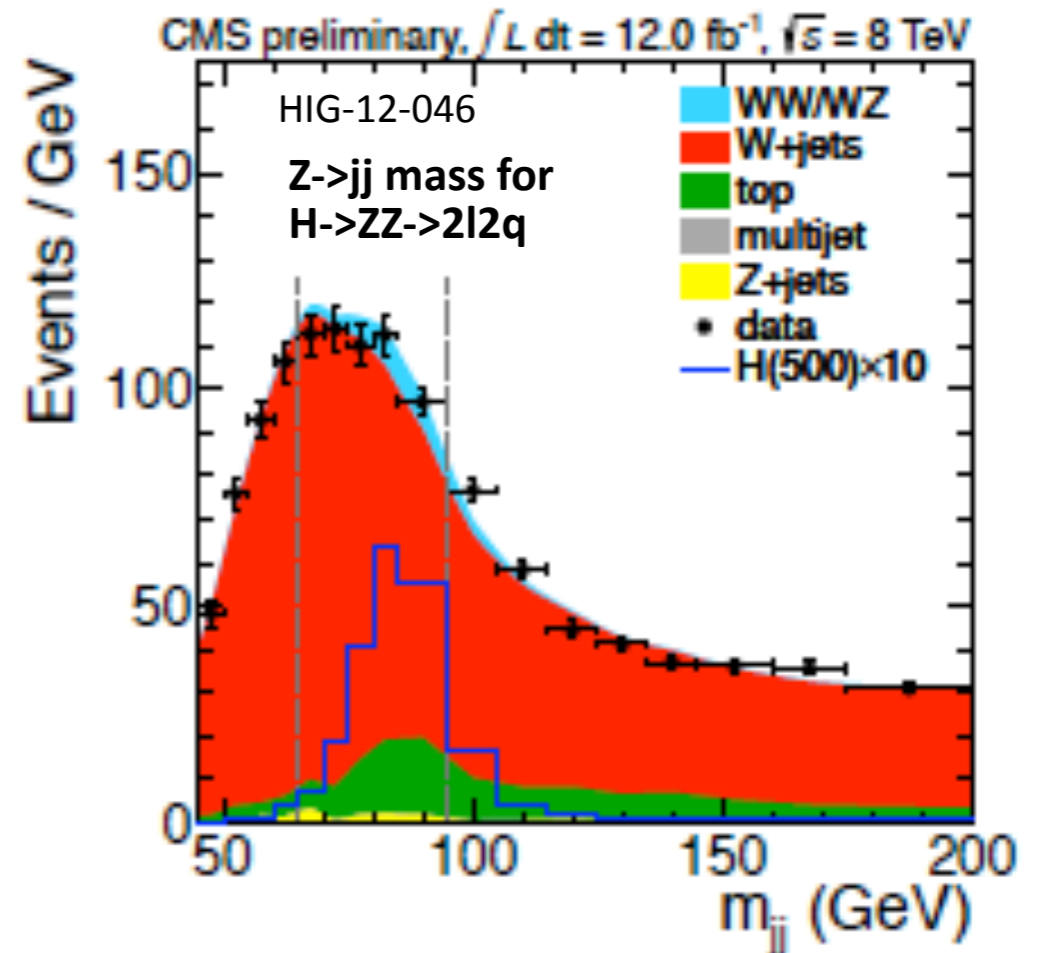
Number of events for 20 fb^{-1} (fully MC based, no systematics, 14 TeV)

	ATLAS	N sign.	N back.	CMS	N sign.	N back.	CMS	N sign.	N back.
WV -> l_njj	500 GeV	6.2	16	500 GeV	337	20759	500 GeV	62	3415
	800 GeV	13	17						
	1.1 TeV	4.8	9.2	>1 TeV	45	3281	>1 TeV	5	348

For recent inclusive Higgs search:

- more sophisticated analysis developed (btag categories, angular analyses, $m_{jj} = m_Z$ kinematic fit)
- data driven background

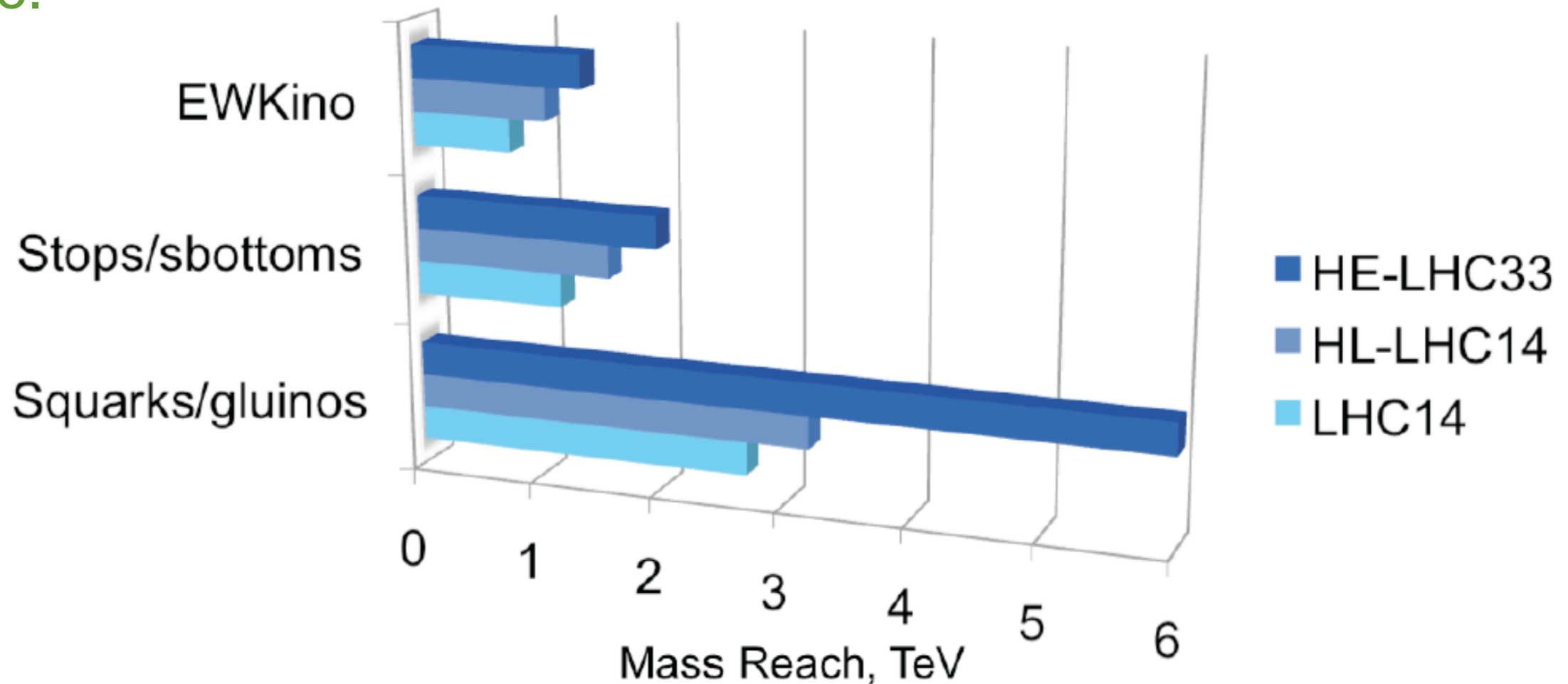
Improved JES: m_{jj} reso from 20-25% to 10-15%



SUSY reach at higher luminosity

LHC at 14 TeV expands the reach for SUSY particles to much higher masses. (HE-LHC at 33 TeV does it even more)

As expected, the gain with HL-LHC is more modest (~25%) in this case.



SUSY reach with 300 fb^{-1}
 EWKinos up to $\sim 800 \text{ GeV}$
 Stops,sbottoms up to $\sim 1 \text{ TeV}$
 squarks,gluinos up to $\sim 2.5 \text{ TeV}$